

# SUR CERTAINS FAISCEAUX DE FORMES MÉROMORPHES EN GÉOMÉTRIE ANALYTIQUE COMPLEXE II.

MOHAMED KADDAR

ABSTRACT. We study some functorial properties of certain sheaves of meromorphic forms on reduced complex space; particularly, the meromorphic forms which extend holomorphically on any desingularisation. The purpose concern their behavior under pull back and higher direct image (and in some case by integration on fibres of equidimensional or open morphism).

## CONTENTS

<b>Introduction</b>	1
<b>Le faisceau <math>\mathcal{L}_X^\bullet</math>.</b>	5
1. Cactérisations classiques .	5
2. Quelques résultats basiques.	8
<b>Le Théorème 0.1 pour certains morphismes.</b>	11
3. Image réciproque pour certaines classes de morphismes.	12
4. Remarques.	16
<b>Le Théorème 0.1 pour un morphisme arbitraire.</b>	16
5. Morphisme de restriction: cas particulier.	16
6. Morphisme de restriction: cas général	19
7. La preuve du Théorème 5.1.	21
8. La preuve du Théorème 0.1.	30
<b>La preuve du Théorème 0.2.</b>	31
9. Image directe supérieure pour un morphisme géométriquement plat et ses conséquences.	32
10. Image directe supérieure déduite du morphisme $\mathfrak{I}_{\pi, \omega}^k : \mathbb{R}^n \pi_1 \omega_X^{n+k} \rightarrow \omega_S^k$ .	36
References	37

Dans [K3], nous avons étudiés certaines propriétés fonctorielles des faisceaux  $\omega_X^\bullet$  sur un espace analytique  $X$  réduit de dimension pure  $m$  et, principalement, leur comportement par image directe supérieure et par image réciproque. Malheureusement, leur principale lacune, vu la nature dualisante du faisceau  $\omega_X^m$  (rappelons que c'est la  $m$ -ème homologie du complexe dualisant et que pour  $X$  de Cohen Macaulay,  $\omega_X^m[m]$  est un complexe dualisant), est de ne pas être stables par image réciproque analytique. D'ailleurs des exemples simples comme la normalisation faible du cusp dans  $\mathbb{C}^2$  ou la normalisation du "parapluie

*Date:* 25th February 2025.

*2010 Mathematics Subject Classification.* 14B05, 14B15, 32S20.

*Key words and phrases.* Analytic spaces, Integration, cohomology, dualizing sheaves.

de Withney” montrent que le relèvement des générateurs de leur faisceau dualisant sont des formes méromorphes à pôles logarithmiques. Néanmoins, on a montré que beaucoup de ces sous faisceaux sont stables par image réciproque de morphismes surjectifs à fibres de dimension constante (équidimensionnels ou ouverts).

On se propose, ici, de mener une étude similaire pour le faisceau  $\mathcal{L}_X^\bullet$  sous faisceau de  $\omega_X^\bullet$  dont les sections se relèvent dans toute désingularisation en formes méromorphes se prolongeant globalement holomorphiquement. Cette définition de nature globale le rend peu maniable car ne permet pas une description locale à l’instar de  $\omega_X^\bullet$ . Il occupe, néanmoins une place importante en géométrie algébrique ou analytique comme on peut le voir dans les théorèmes d’annulation de Grauert-Riemenschneider [GR], dans la théorie des singularités rationnelles, canoniques ou terminales. Les problématiques tournant autour de ces faisceaux apparaissent, déjà sous certaines formes, dans l’étude des formes dites de première espèce introduite par Picard [P.S] et généralisées par Griffiths [Gr].

L’objet de ce qui suit est d’établir un résultat analogue aux **théorème 1** et **théorème 2** de [K3], montrant la stabilité par image réciproque arbitraire du faisceau  $\mathcal{L}_X^\bullet$  et son comportement par image directe supérieure.

Plusieurs approches peuvent être envisagées pour montrer l’existence d’une image réciproque pour ces formes. En effet, si le morphisme  $\pi : X \rightarrow S$  est surjectif à fibres de dimension constante, on peut utiliser le **théorème 1** de [K3] pour en déduire un pull-back naturel  $\pi^* \mathcal{L}_S^\bullet \rightarrow \mathcal{L}_X^\bullet$ . Comme ces faisceaux sont invariants par modifications propres, on en déduit, sans difficultés, grâce aux théorèmes d’applatissage algébriques ou géométriques, l’existence de cette image réciproque pour tout morphisme propre, surjectif et génériquement équidimensionnel. En utilisant les théorèmes d’applatissage locaux, on peut se passer de la propriété.

Un autre point de vue consiste à proposer une définition et un cadre pour ces formes de sorte à pouvoir récupérer la plupart des propriétés fonctorielles des formes holomorphes habituelles. Pour cela, on est contraint d’imposer des conditions d’incidence aux espaces considérés et de croissance  $L^2$  le long du lieu singulier nous permettant de raisonner génériquement sur des formes holomorphes usuelles; on évite de se retrouver complètement dans le lieu polaire. On peut, alors, construire cette image réciproque en termes de modifications propres et de désingularisations.

Toujours pour un morphisme surjectif mais sans aucune autre condition, on peut utiliser la caractérisation donnée dans [KeSc] des formes holomorphes sur la partie régulière d’un espace complexe réduit dont les images réciproques sur toute désingularisée se prolonge analytiquement et disant que si  $\xi$  est une section de  $\Gamma(\text{Reg}(X), \Omega_X^k)$ :

$$\xi \in \mathcal{L}_X^k \iff \xi \wedge \alpha \text{ et } d\xi \wedge \beta \in \mathcal{L}_X^m, \forall \alpha \in \Omega_X^{m-k}, \forall \beta \in \Omega_X^{m-k-1}$$

Ce théorème est très loin d’être trivial et nécessite des outils très puissants utilisant la théorie des modules de Hodge mixtes.

Malheureusement, même si ces approches donnent déjà un large éventail de morphismes pour lesquelles on a la stabilité désirée par image réciproque, il n’en reste pas moins que le cas d’un morphisme de restriction à un sous espace contenu dans le lieu singulier de l’espace ambiant reste inabordable par ce biais.

Dans le cas général d’un morphisme arbitraire d’espaces complexes réduits, notre construction repose fondamentalement sur la manière dont on va définir une restriction de ces formes méromorphes à pôles dans le lieu singulier de l’espace ambiant à un sous espace entièrement contenu dans le lieu singulier. L’approche adoptée est celle qui a été développée dans [K0]. Elle utilise l’intégration sur les fibres le long du diviseur exceptionnel ou de la préimage totale. La partie fastidieuse est la vérification de l’indépendance de la construction vis-à-vis de tous les choix que l’on va faire comme la forme de Kähler relative, la désingularisation, les factorisations possibles etc.

Tout comme dans [K3], on établit des résultats d'images directe supérieures pour un morphisme arbitraire d'espaces complexes (réduits) déduits soit de l'intégration sur les fibres munis de leur structure de cycles (c'est-à-dire dans le cas d'un morphisme géométriquement plat) soit d'une partie émergente de la théorie de la dualité relative. On a, alors

**Théorème 0.1.** *Soit  $\pi : X \rightarrow S$  un morphisme d'espaces analytiques complexes réduits de dimension pure. Alors,*

(i) *Il existe un unique morphisme de faisceaux  $\pi^* : \mathcal{L}_S^\bullet \rightarrow \pi_* \mathcal{L}_X^\bullet$  (et même d'algèbre différentielle sur  $\Omega_S^\bullet$ ) prolongeant l'image réciproque des formes holomorphes usuelles et rendant commutatif le diagramme*

$$\begin{array}{ccc} \Omega_S^\bullet & \longrightarrow & \pi_* \Omega_X^\bullet \\ \downarrow & & \downarrow \\ \mathcal{L}_S^\bullet & \longrightarrow & \pi_* \mathcal{L}_X^\bullet \end{array}$$

De plus, si  $\pi$  est surjectif à fibres de dimension constante, on a aussi, grâce à ([K3], théorème 1), le diagramme commutatif

$$\begin{array}{ccc} \mathcal{L}_S^\bullet & \longrightarrow & \pi_* \mathcal{L}_X^\bullet \\ \downarrow & & \downarrow \\ \tilde{\mathcal{L}}_S^\bullet & \longrightarrow & \pi_* \tilde{\mathcal{L}}_X^\bullet \end{array}$$

avec  $\tilde{\mathcal{L}}_Z^\bullet := \mathcal{H}om(\mathcal{L}_Z^{\dim(Z)-\bullet}, \omega_Z^m)$  pour  $Z = S, X$ .

(ii) **Image réciproque et composition.** *si  $f : X \rightarrow Y$  et  $g : Y \rightarrow S$  sont deux morphismes surjectifs d'espaces complexes réduits alors  $(g \circ f)^* = f^* \circ g^*$ .*

**Théorème 0.2.** *Soit  $\pi : X \rightarrow S$  un morphisme d'espaces analytiques complexes réduits de dimension pure. Alors, si:*

(i)  *$\pi$  est propre génériquement  $n$ -équidimensionnel, il lui est associé un morphisme de faisceaux cohérents*

$$\mathcal{T}_{\pi, \mathcal{L}}^k : \mathbb{R}^n \pi_* \mathcal{L}_X^{n+k} \rightarrow \mathcal{L}_S^k$$

rendant commutatif le diagramme

$$\begin{array}{ccc} \mathbb{R}^n \pi_* \mathcal{L}_X^{n+k} & \longrightarrow & \mathbb{R}^n \pi_* \omega_X^{n+k} \\ \mathcal{T}_{\pi, \mathcal{L}}^k \downarrow & & \downarrow \mathcal{T}_{\pi, \omega}^k \\ \mathcal{L}_S^k & \longrightarrow & \omega_S^k \end{array}$$

(en remplaçant  $\pi_*$  par  $\pi_!$  dans le cas non propre) et dont la formation:

- commute aux restrictions ouvertes sur  $X$  (et  $S$ ) et aux changements de base plats,
- est compatible aux changements de base arbitraires et à la composition des morphismes d'espaces complexes dans le sens suivant:

Pour tout diagramme commutatif d'espaces analytiques complexes

$$\begin{array}{ccc} X_2 & \xrightarrow{\Psi} & X_1 \\ \pi_2 \searrow & & \swarrow \pi_1 \\ & S & \end{array}$$

avec  $\pi_1$  (resp.  $\pi_2$ ) propre, de dimension générique relative  $n_1$  (resp.  $n_2$ ) et  $\Psi$  propre de dimension relative bornée par l'entier  $d := n_2 - n_1$ , il existe un unique morphisme  $\tilde{\Psi}$  rendant

commutatif le diagramme de faisceaux analytiques (cohérents dans le cas propre)

$$\begin{array}{ccc}
 \mathbb{R}^{n_2} \pi_{2!} \mathcal{L}_{X_2}^{n_2+q} & \xrightarrow{\tilde{\Psi}} & \mathbb{R}^{n_1} \pi_{1!} \mathcal{L}_{X_1}^{n_1+q} \\
 \searrow \mathcal{T}_{\pi_2}^q & & \swarrow \mathcal{T}_{\pi_1}^q \\
 & \mathcal{L}_S^q &
 \end{array}$$

En remplaçant  $\pi_1$  par  $\pi_*$  dans le cas non propre.

(ii) Si  $\pi$  est géométriquement plat à fibres de dimension  $n$ , il est induit par et induit le morphisme d'intégration sur les fibres.

**Corollaire 0.3.** On conserve les notations et hypothèses du [Théorème 0.2](#). Soient  $\Phi$  une famille paracompactifiante de supports de  $Z$ ,  $(X_s)_{s \in S}$  une famille analytique de  $n$ -cycles de  $Z$ ,  $\Psi$  une famille de supports de  $Z$  contenant les supports des cycles  $X_s$ ,  $\Theta$  une famille paracompactifiante de supports de  $S$  telle que la famille  $\tilde{\Psi} := (S \times (\Phi \cap \Psi)) \cap X$  soit paracompactifiante et contenue dans la famille paracompactifiante des fermés  $\Theta$ -propre de sorte que le couple  $(\tilde{\Psi}, \Theta)$  soit adapté à  $\pi$ . Alors, il existe un morphisme d'intégration d'ordre supérieur sur les cycles

$$\sigma_{\Phi, X}^{q,p} : H_{\Phi}^{n+p}(Z, \mathcal{L}_Z^{n+q}) \longrightarrow H_{\Theta}^p(S, \mathcal{L}_S^q)$$

possédant les mêmes propriétés fonctorielles que  $\mathcal{T}_{\pi, \mathcal{L}}^k$ .

1. CACTÉRISATIONS CLASSIQUES .

1.1. **Formes de première espèce.** Si  $X$  est une hypersurface à singularités isolées d'un certain espace numérique  $\mathbb{C}^{m+1}$ , la considération de  $m$ -formes méromorphes n'ayant des pôles qu'en les singularités de  $X$  et dites de **première espèce** apparaît déjà dans divers travaux et en particulier dans [P.S] (tome 1 p.178). Rappelons qu'étant donné  $f : (\mathbb{C}^{m+1}, 0) \rightarrow (\mathbb{C}, 0)$  un germe de fonction holomorphe ayant une singularité isolée à l'origine, un ouvert  $V := \{z \in \mathbb{C}^{m+1} \mid |z| < \epsilon; |f(z)| < \eta\}$  et  $X$  l'ensemble d'annulation de  $f$  sur  $V$ , on dit qu'une forme holomorphe  $\xi$  sur  $V - \{0\}$  est de **première espèce** s'il existe une désingularisation de  $V$  dans laquelle  $\xi$  se prolonge holomorphiquement.

Dans [Gr], Greuel a montré que toute forme holomorphe sur  $V - \{0\}$  dont le degré est strictement inférieur à  $m - 1$ , est automatiquement de première espèce. Le résultat général donné par Flenner ([Fl]) dit que toute  $q$ -forme holomorphe sur la partie régulière d'un espace analytique éventuellement réduit est de première espèce si  $q + 1$  est strictement inférieur à la codimension du lieu singulier.

On peut citer l'article de Merle et Teissier [M.T] et celui de Steenbrinck et Van Straten [SS] traitant ce sujet dans des cas plus ou moins particuliers. En degré maximum, on peut noter que ces formes méromorphes sont caractérisées par le fait qu'elles sont de carré sommable ( ce qui implique que leurs images directes par tout morphisme fini local de  $X$  sur un ouvert lisse de  $\mathbb{C}^m$  est holomorphe) . Sur un espace ayant une singularité isolée, les formes de première espèce de degrés  $m - 1$  et  $m$  jouent un rôle particulièrement important puisqu'elles sont attachées à deux invariants fondamentaux, à savoir, les genres géométriques et arithmétiques :

$$p_g := \dim \frac{\Gamma(V, \omega_V^m)}{\Gamma(V, \mathcal{L}_V^m)}$$

qui est le nombre de conditions d'adjonctions associés à la singularité, et

$$q := \dim \frac{\Gamma(V, \omega_V^{m-1})}{\Gamma(V, \mathcal{L}_V^{m-1})}$$

L'étude de ces invariants fait l'objet de plusieurs articles à savoir, par exemple [S.Y] auquel nous renvoyons le lecteur. Dans un contexte différent, relatif au degré maximal, elles interviennent aussi dans les théorèmes d'annulations de Grauert et Riemenschneider [GR]. Signalons la caractérisation suivante de [SS] dont l'analogie en dimension maximale se trouve énoncé dans ([M.T] p.231)

1.2. **Caractérisations.** Dans le cas d'une hypersurface, nous avons, pour les formes de degré maximal, la description suivante:

**Proposition 1.1.** (Picard [P] tome 1 p.178)

Soit  $(X, 0)$  un germe d'hypersurface réduite d' équation  $f(x_1, \dots, x_{m+1}) = 0$  dans  $(\mathbb{C}^{m+1}, 0)$  et  $\Sigma$  son lieu singulier (ou un sous ensemble rare dans  $X$ ). Alors:

(i) toute  $m$  - forme méromorphe  $\xi$  sur  $X$  s'écrit

$$\xi = \varphi \cdot \frac{dx_2 \wedge dx_3 \wedge \dots \wedge dx_{m+1}}{\frac{\partial f}{\partial x_1}}$$

avec  $\varphi$  méromorphe sur  $X$ .

(ii) pour que  $\xi$  reste fini au voisinage de  $O$ , il faut que

a)  $\varphi$  soit holomorphe au voisinage de  $O$ .

b) Chaque composante irréductible  $\Sigma_i$  de  $\Sigma$ , de codimension 1, contienne un ouvert analytique dense  $V_i$  tel que pour tout point  $x$  de  $V_i$  ( ou représentant assez petit) on ait  $\varphi \cdot \mathcal{O}_{X,x} \subset C_x$  avec  $C_x := \{g \in \mathcal{O}_{X,x}; g \cdot \widehat{\mathcal{O}_{X,x}} \subset \mathcal{O}_{X,x}\}$  ( le conducteur de l'algèbre  $\mathcal{O}_{X,x}$  dans sa normalisée  $\widehat{\mathcal{O}_{X,x}}$ .

On a aussi

**Proposition 1.2.** ([SS], proposition(1.1),p.98) Pour toute  $q$ -forme holomorphe  $\xi$  sur  $X - \Sigma$ , les conditions suivantes sont équivalentes:

- i) Pour toute application  $\gamma : \Delta^q \rightarrow X$  de classe  $C^\infty$  sur le  $q$ -simplexe  $\Delta^q$ , l'intégrale  $\int_\gamma \xi$  existe si  $\gamma^{-1}(\Sigma)$  est d'intérieur vide.
- ii) Il existe un morphisme de résolution des singularités  $\pi : \tilde{X} \rightarrow X$  tel que  $\pi^*(\xi)$  se prolonge holomorphiquement à  $\tilde{X}$  tout entier.
- iii) L'assertion ii) est vraie pour toute désingularisation.
- iv) Il existe une modification  $\pi : \tilde{X} \rightarrow X$ , avec  $\tilde{X}$  lisse, pour laquelle  $\pi^*(\xi)$  se prolonge holomorphiquement à  $\tilde{X}$  tout entier.
- v) iv) est vraie pour toute modification avec espace " modifié " lisse

**Remarques 1.3.** (i) On peut signaler qu'indépendamment, Greuel ([Gr], proposition(2.3)) et Yau ([Y], theorem(2.9)) ont montré que dans le cas d'une singularité isolée d'hypersurface de dimension  $m$ , toute forme génériquement holomorphe est automatiquement de première espèce en tout degré strictement inférieur à  $m - 1$ . Résultat qui a été généralisé par Flenner ([Fl], theorem) en montrant que sur un espace analytique complexe (réduit) dont le lieu singulier est de codimension  $r$ , toute forme génériquement holomorphe est automatiquement de première espèce en tout degré strictement inférieur à  $r - 1$ .

(ii) La suite exacte courte

$$0 \rightarrow \mathcal{L}_Z^m \rightarrow \omega_Z^m \rightarrow \mathcal{K} \rightarrow 0$$

où  $\mathcal{K}$  est le faisceau quotient dont le support est contenu dans le lieu singulier de  $Z$ , nous donne la suite exacte longue

$$0 \rightarrow \mathcal{H}om_{\mathcal{O}_Z}(\omega_Z^m, \mathcal{L}_Z^m) \rightarrow \mathcal{H}om_{\mathcal{O}_Z}(\omega_Z^m, \omega_Z^m) \rightarrow \mathcal{H}om_{\mathcal{O}_Z}(\omega_Z^m, \mathcal{K}) \rightarrow \dots$$

qui, pour  $Z$  de Gorenstein (i.e  $\omega_Z^m \simeq \mathcal{O}_Z$ ) est réduite à la suite exacte courte donnée par ces trois termes. L'identification  $\omega_Z^m \simeq \mathcal{O}_Z$  permet de voir le faisceau  $\mathcal{H}om_{\mathcal{O}_Z}(\omega_Z^m, \mathcal{L}_Z^m) \simeq \mathcal{L}_Z^m$  comme un idéal de  $\mathcal{O}_Z$  constitué des fonctions holomorphes sur  $S$  dont la multiplication avec un générateur du faisceau dualisant  $\omega_Z^m$  donne une section du faisceau  $\mathcal{L}_Z^m$ ; c'est le conducteur d'adjonction  $C$  de  $Z$  (cf def. 1.6 p.238 de [M.T]). Signalons que le conducteur usuel est donné par  $\mathcal{H}om(\mathcal{L}_Z^0, \mathcal{O}_Z)$ .

**Définition 1.4.** Un morphisme  $f : X \rightarrow Y$  d'espaces complexes est dit admissible si  $f^{-1}(\text{Sing}(Y))$  est d'intérieur vide dans  $X$ .

**Définition 1.5.** Un morphisme  $f : X \rightarrow Y$  d'espaces complexes est dit universellement équidimensionnel s'il est ouvert, surjectif à fibres de dimension  $\dim(X) - \dim(Y)$ .

**Définition 1.6.** Soit  $X$  un espace analytique complexe réduit de dimension pure  $m$  et de lieu singulier  $\Sigma := \text{Sing}(X)$ . Si  $W$  est un sous ensemble analytique de  $X$  contenant  $\Sigma$  mais ne contenant aucune composante irréductible de  $X$ , on dit qu'une  $m$ -forme holomorphe  $\xi$  sur  $X \setminus W$  est de type  $L^2$  sur  $X$  si

$$\int_{U \cap (X \setminus W)} \xi \wedge \bar{\xi} < \infty$$

dans un voisinage  $U$  de tout point de  $W$ . On note  $L_X^2$  l'ensemble de ces formes.

Pour les degrés intermédiaires, on a naturellement

**Définition 1.7.** Avec les notations et hypothèses de la définition précédentes, on dit qu'une  $k$ -forme holomorphe  $\xi$  sur  $X \setminus W$  est de type  $L^2$  sur  $X$  si, pour tout sous ensemble analytique  $Y$  de dimension  $k$  non contenu dans  $\Sigma$ , la restriction (générique)  $\xi|_Y$  est de type  $L^2$  sur  $Y$  au sens de la Définition 1.6.

Cette définition montre que l'on peut se contenter de tester les sous espaces  $Y$  tel que  $\text{Sing}(Y) \subset W$  et éventuellement  $\text{Sing}(Y) = Y \cap \text{Sing}(X)$ .

Il est facile de voir (cf par exemple [GR]) que

**Proposition 1.8.**  $L_X^2 = \mathcal{L}_X^m$ .

**Proposition 1.9.** Soit  $X$  un espace analytique réduit de dimension  $m$ . Alors, le faisceau des  $k$ -formes méromorphes de type  $L_X^2$  sur  $X$  coïncide avec le faisceau  $\mathcal{L}_X^k$ .

*Proof.* Il suffit de comparer avec la Proposition 1.2 ■ □

Enfin, terminons en rappelant que dans [K0], on avait montré le

**Théorème 1.10.** Soient

-  $Z$  et  $S$  deux espaces analytiques complexes de dimension pure avec  $Z$  dénombrable à l'infini et  $S$  réduit.

-  $(X_s)_{s \in S}$  une famille analytique de  $n$ -cycles de  $Z$  paramétrée par  $S$ , dont le graphe sera noté  $X$  dans  $S \times Z$ .

-  $\pi : X \rightarrow S$  est le morphisme de projection de ce graphe sur  $S$ .

-  $\Phi$  et  $\Psi$  deux familles de supports vérifiant

i)  $\Phi$  paracompactifiante

ii)  $\Phi \cap \Psi$  contenue dans la famille des compacts de  $Z$

iii)  $\forall s \in S, |X_s| \in \Psi$

iv)  $X \cap (S \times \Phi)$  contenu dans la famille des fermés  $S$ -propres.

Alors il existe un morphisme d'intégration d'ordre supérieur sur les cycles

$$\tilde{\sigma}_{\Phi, X}^{q,0} : H_{\Phi}^n(Z, \mathcal{L}_Z^{n+q}) \longrightarrow H^0(S, \mathcal{L}_S^q)$$

vérifiant les propriétés suivantes :

a) **Compatibilité avec les inclusions ouvertes sur  $Z$ :**

Soit  $U$  un ouvert de  $Z$  et  $S'$  un ouvert de  $S$  formé des points pour lesquels les cycles associés sont dans  $U$ . Si  $j : U \rightarrow Z$  est l'injection naturelle, on a la commutativité du diagramme suivant:

$$\begin{array}{ccc} H_{\Phi}^n(Z, \mathcal{L}_Z^{n+q}) & \longleftarrow & H_{\Phi|U}^n(U, \mathcal{L}_U^{n+q}) \\ \tilde{\sigma}_{\Phi, X}^{q,0} \downarrow & & \downarrow \tilde{\sigma}_{\Phi, X|U}^{q,0} \\ H^0(S, \mathcal{L}_S^q) & \longrightarrow & H^0(S', \mathcal{L}_{S'}^q) \end{array}$$

dans lequel les flèches horizontales supérieure et inférieure désignent respectivement le prolongement par zéro des sections à supports et la restriction usuelle.

b) **Compatibilité avec les images directes de cycles**

Soit  $f : Z \rightarrow T$  est un morphisme propre et surjectif d'espaces analytiques complexes réduits et  $\tilde{\Phi}$  une famille paracompactifiante de fermés de  $T$  vérifiant la condition iv) ci-dessus pour la famille analytique  $(f_* X_s)_{s \in S}$  dont le graphe sera noté  $\tilde{X}$  et telle que  $f^{-1}\tilde{\Phi}$  soit contenue dans  $\Phi$ , alors on a le diagramme commutatif :

$$\begin{array}{ccc} H_{\tilde{\Phi}}^n(T, \mathcal{L}_T^{n+q}) & \xrightarrow{f^*} & H_{\Phi}^n(Z, \mathcal{L}_Z^{n+q}) \\ & \searrow \tilde{\sigma}_{\tilde{\Phi}, \tilde{X}}^{q,0} & \swarrow \tilde{\sigma}_{\Phi, X}^{q,0} \\ & H^0(S, \mathcal{L}_S^q) & \end{array}$$

c) **Compatibilité avec les changements de bases sur  $S$  :**

Soit  $\varphi : \tilde{S} \rightarrow S$  un morphisme d'espaces analytiques complexes réduits. Si  $\tilde{X}$  désigne le graphe de la famille  $(X_{\tilde{s}})_{\tilde{s} \in \tilde{S}}$  obtenue par changement de base sur  $S$ , on a le diagramme commutatif suivant:

$$\begin{array}{ccc} H_{\Phi}^n(Z, \mathcal{L}_Z^{n+q}) & & \\ \downarrow \tilde{\sigma}_{\Phi, X}^{q,0} & \searrow \tilde{\sigma}_{\Phi, \tilde{X}}^{q,0} & \\ H^0(S, \mathcal{L}_S^q) & \xrightarrow{\varphi^*} & H^0(\tilde{S}, \mathcal{L}_{\tilde{S}}^q) \end{array}$$

d) **Faisceautisation:**

$\pi$  induit un morphisme de faisceau de  $\mathcal{O}_S$  modules que l'on appelle trace faisceautique

$$\mathbb{R}^n \pi_! \mathcal{L}_X^{n+q} \rightarrow \mathcal{L}_S^q$$

fonctorielle en  $S$  et en  $X$ , qui détermine et qui est entièrement déterminé, dans  $\mathbf{D}(\mathcal{O}_S)$  ( la catégorie dérivée des  $\mathcal{O}_S$ -modules) par la flèche

$$\mathbb{R}\pi_! \mathcal{L}_X^{n+q}[n] \rightarrow \mathcal{L}_S^q.$$

e) **Compatibilité avec " les cas usuels "**

i) Pour  $Z$  et  $S$  lisses, sa construction coïncide avec celle faite en termes d'image directe au sens des courants.

ii) Pour  $q = 0$ , le lien avec le morphisme  $\rho_{\Phi, X}^0$  construit dans [B.V] est donné par le diagramme commutatif

$$\begin{array}{ccc} H_{\Phi}^n(Z, \Omega_Z^n) & \longrightarrow & H_{\Phi}^n(Z, \mathcal{L}_Z^n) \\ \downarrow \rho_{\Phi, X}^0 & & \downarrow \tilde{\sigma}_{\Phi, X}^{0,0} \\ H^0(S, \mathcal{O}_S) & \longrightarrow & H^0(S, \mathcal{L}_S^0) \end{array}$$

dans lequel les flèches horizontales supérieure et inférieure découlent respectivement des morphismes canoniques  $\Omega_Z^n \rightarrow \mathcal{L}_Z^n$  et  $\mathcal{O}_S \rightarrow \mathcal{L}_S^0$ .

On avait fait remarquer que, pour  $q = 1$ , le morphisme d'intégration est à valeurs dans un sous faisceau de  $\mathcal{L}_S^1$ ,

$$H_{\Phi}^n(Z, \Omega_Z^{n+1}) \rightarrow H^0(S, \overline{\Omega}_S^1)$$

$\overline{\Omega}_S^1$  pouvant être décrit comme étant le faisceau des formes méromorphes vérifiant une relation de dépendance intégrale sur l'algèbre symétrique des formes holomorphes, ou des formes méromorphes, qui sur le tangeant de Zariski, correspondent aux fonctions méromorphes localement bornées (cf [K3] pour une discussion approfondie et détaillée).

## 2. QUELQUES RÉSULTATS BASIQUES.

2.1. **Propriétés fondamentales.** Dans ce paragraphe, nous donnons quelques résultats qui, pour la plupart, se réfèrent à [K3] où la fonctorialité du faisceau  $\omega_X^\bullet$  et ses images directes supérieures sont étudiées en détails.

**Proposition 2.1.** Soit  $X$  un espace analytique complexe réduit et de dimension pure  $m$ . Alors, pour tout entier  $k \geq 0$ , on a:

(i) le faisceau  $\mathcal{L}_X^k$  est un sous faisceau de  $\omega_X^k$  (en particulier, il est sans  $\mathcal{O}_X$ -torsion et coïncide avec le faisceau des formes holomorphes usuelles aux points réguliers de  $X$ ). De plus, ces faisceaux sont stables par différentiation extérieure et munis d'un cup-produit interne.

(ii) tout morphisme  $f : X \rightarrow Y$  morphisme fini et surjectif d'espaces analytiques complexes réduits de dimension pure  $m$  induit, pour tout entier  $k \leq m$ , un morphisme trace

$$f_* \mathcal{L}_X^k \rightarrow \mathcal{L}_Y^k$$

(iii) Toute modification propre  $f : X \rightarrow Y$  induit un isomorphisme

$$f_* \mathcal{L}_X^k \simeq \mathcal{L}_Y^k$$

(iv) si  $\mathcal{F}$  est un sous faisceau cohérent de  $\omega_X^k$  coïncidant avec le faisceau des formes usuelles sur la partie régulière et pour lequel il existe **un** morphisme propre  $f : Z \rightarrow X$  avec  $Z$  lisse tel que l'image réciproque par  $f$  de toute section de  $\mathcal{F}$  se prolonge holomorphiquement sur  $Z$ , alors  $\mathcal{F}$  est un sous faisceau de  $\mathcal{L}_X^k$ .

*Proof.* (i) Comme, par définition,  $\mathcal{L}_X^k = \pi_*(\Omega_{\tilde{X}}^k)$  pour toute désingularisation  $\pi : \tilde{X} \rightarrow X$ , il est cohérent puisqu'image directe propre d'un faisceau cohérent (d'après le théorème de cohérence de Grauert). Il est aussi, de ce fait, sans torsion puisque  $\Omega_{\tilde{X}}^k$  l'est. De plus, pour tout ouvert  $U$  de  $X$ , on a  $\mathcal{L}_X^k|_U = \mathcal{L}_U^k$  et coïncide naturellement avec le faisceau des formes holomorphes usuelles aux points réguliers de  $X$  puisque  $\pi$  est un isomorphisme sur cet ouvert. Comme l'image directe au sens des courants donne un morphisme injectif  $\pi_* \Omega_{\tilde{X}}^k \rightarrow \omega_X^k$ , il est de profondeur au moins 1; en particulier, pour tout sous espace  $T$  rare ou d'intérieur vide dans  $X$ , on a l'annulation des faisceaux de cohomologie  $\mathcal{H}_T^0(\mathcal{L}_X^k) = 0$ . Pour définir le cup produit, il suffit d'écrire

$$\mathcal{L}_X^k \otimes \mathcal{L}_X^{k'} = \pi_* \Omega_{\tilde{X}}^k \otimes \pi_* \Omega_{\tilde{X}}^{k'} \rightarrow \pi_*(\Omega_{\tilde{X}}^k \otimes \Omega_{\tilde{X}}^{k'}) \rightarrow \pi_*(\Omega_{\tilde{X}}^{k+k'}) = \mathcal{L}_X^{k+k'}$$

(ii) Cette trace se construit grâce à la trace déjà vue  $\pi_* \omega_X^k \rightarrow \omega_Y^k$  induite par l'image directe au sens des courants. Ainsi, par composition avec le morphisme canonique  $\mathcal{L}_X^k \rightarrow \omega_X^k$  et pour  $Y$  lisse, on a un morphisme  $\pi_* \mathcal{L}_X^k \rightarrow \Omega_Y^k$ . Le cas général s'en déduit immédiatement en considérant une désingularisation de  $Y$  et le diagramme de changement de base associé

$$\begin{array}{ccc} \tilde{X} & \xrightarrow{\tilde{\varphi}} & X \\ \tilde{\pi} \downarrow & & \downarrow \pi \\ \tilde{Y} & \xrightarrow{\varphi} & Y \end{array}$$

Alors, comme  $\pi_* \mathcal{L}_X^k = \pi_* \tilde{\varphi}_* \mathcal{L}_{\tilde{Z}}^k = \varphi_* \tilde{\pi}_* \mathcal{L}_{\tilde{Z}}^k$ , il nous suffit d'appliquer le foncteur  $\varphi_*$  au morphisme trace  $\tilde{\pi}_* \mathcal{L}_{\tilde{Z}}^k \rightarrow \Omega_{\tilde{Y}}^k$ . Rappelons que le morphisme trace commute à tout changement de base c'est-à-dire

$$\varphi^* \text{Tr}_\pi(\xi) = \text{Tr}_{\tilde{\pi}}(\tilde{\varphi}^* \xi)$$

(iii) Cela découle immédiatement de la définition.

(iv) Soient  $\mathcal{F}$  un sous faisceau cohérent de  $\omega_X^k$  coïncidant avec le faisceau des formes holomorphes usuelles sur la partie régulière et pour lequel il existe **un** morphisme propre  $f : Z \rightarrow X$  avec  $Z$  lisse tel que l'image réciproque par  $f$  de toute section de  $\mathcal{F}$  se prolonge holomorphiquement sur  $X$ . Montrons que c'est nécessairement un sous faisceau du faisceau  $\mathcal{L}_X^k$ .

Commençons par remarquer que dans le cas où  $f$  est une modification propre, le résultat est clair. De même, si  $f$  est fini et surjectif, le changement de base donnée par la normalisation de  $X$ , nous ramène au cas d'un revêtement ramifié de degré  $r$  duquel résulte l'assertion. Précisément, relativement au diagramme de changement de base

$$\begin{array}{ccc} \tilde{Z} & \xrightarrow{\tilde{\varphi}} & Z \\ \tilde{f} \downarrow & & \downarrow f \\ \tilde{X} & \xrightarrow{\varphi} & X \end{array}$$

et au morphisme trace  $\tilde{f}_* \Omega_{\tilde{Z}}^k \rightarrow \mathcal{L}_X^k$ , on voit que la forme méromorphe  $\tilde{f}_*(\tilde{f}^*(\varphi^*\xi))$  définit une section du faisceau  $\mathcal{L}_X^k$  c'est-à-dire  $\varphi^*\xi$  section de  $\mathcal{L}_{\tilde{X}}^k$  puisque  $\tilde{f}_*\tilde{f}^* = r \cdot \text{Id}$ . On définit ainsi un morphisme non trivial  $\varphi^*\mathcal{F} \rightarrow \mathcal{L}_{\tilde{X}}^k$ . D'où, en composant avec la flèche naturelle  $\mathcal{F} \rightarrow \varphi_*\varphi^*\mathcal{F}$ , le morphisme

$$\mathcal{F} \rightarrow \mathcal{L}_X^k$$

qui est nécessairement injectif puisque c'est un isomorphisme générique (les deux faisceaux coïncidant avec le faisceau des formes holomorphes sur la partie lisse) et  $\mathcal{F}$  est sans torsion car sous faisceau du faisceau sans torsion  $\omega_X^k$ .

Remarquons, au passage, que  $\varphi$  étant le morphisme de normalisation, on a

$$\varphi_*\varphi^*(\mathcal{L}_X^k) = \mathcal{L}_X^k \otimes \varphi_*\mathcal{O}_{\tilde{X}} = \mathcal{L}_X^k \otimes \mathcal{L}_X^0 = \mathcal{L}_X^k$$

Dans le cas général, on peut utiliser<sup>1</sup> le théorème d'applatissage de Hironaka [H1] pour avoir un diagramme similaire au précédent avec  $f$  plat,  $\varphi$  et  $\tilde{\varphi}$  des modifications et  $\tilde{Z}$  la réunion des composantes irréductibles du produit fibré  $\tilde{X} \times_X Z$  qui se surjectent sur  $\tilde{X}$ . On peut, alors, tariter le problème localement et nous ramener essentiellement au cas fini. Supposons, donc,  $f : Z \rightarrow X$  soit un morphisme plat d'espaces complexes réduits et

considérons une factorisation locale  $Z \xrightarrow{h} X \times U \xrightarrow{q} X$  de  $f$ . Comme  $f^*(\xi) = h^*(q^*(\xi))$  est holomorphe, sa trace  $\text{Tr}_h(h^*(q^*(\xi)))$  définit une section du faisceau  $\mathcal{L}_{X \times U}^k$ ; ce qui signifie exactement que  $q^*(\xi)$  est une section de  $\mathcal{L}_{X \times U}^k$  d'être une section du faisceau  $\mathcal{L}_{Z \times U}^k$ . Mais comme  $q$  n'est rien d'autre que la projection canonique, cela revient exactement à dire que  $\xi$  est une section du faisceau  $\mathcal{L}_X^k$ . Traduisant ceci dans notre contexte, cela nous dit que pour toute section  $\xi$  de  $\mathcal{F}$ ,  $\varphi^*\xi$  est une section de  $\mathcal{L}_{\tilde{X}}^k$ . D'où le morphisme  $\varphi^*\mathcal{F} \rightarrow \mathcal{L}_{\tilde{X}}^k$  et, donc,  $\mathcal{F} \rightarrow \mathcal{L}_X^k$  nécessairement injectif pour les raisons évoquées dans le cas fini ci-dessus ■  $\square$

**Proposition 2.2.** *Soit  $X$  un espaces analytique complexe réduit et soit  $\xi$  une section du faisceau  $\omega_X^k$ . Alors,  $\xi$  est une section du faisceau  $\mathcal{L}_X^k$  si et seulement si il existe une variété complexe lisse  $Y$  et un morphisme  $\pi : Y \rightarrow X$  propre et surjectif tel que  $\pi^*(\xi)$  génériquement holomorphe sur  $Y$  se prolonge holomorphiquement sur  $Y$ .*

*Proof.* • Si  $\xi$  est une section du faisceau  $\mathcal{L}_X^k$ , alors, par définition, il existe une résolution des singularités de  $X$  donc un morphisme propre et surjectif  $\pi : \tilde{X} \rightarrow X$  tel que  $\pi^*(\xi)$  se prolonge holomorphiquement sur  $\tilde{X}$ .

• Pour la réciproque, le diagramme commutatif

$$\begin{array}{ccc} Z & \xrightarrow{\theta} & Y \\ \tilde{\pi} \downarrow & \searrow \psi & \downarrow \pi \\ \tilde{X} & \xrightarrow{\nu} & X \end{array}$$

<sup>1</sup>On peut prendre pour  $\varphi$  une désingularisation de  $X$  et raisonner en termes de courants en utilisant la formule de projection  $\tilde{f}_*([\tilde{Z}] \wedge \tilde{f}^*(\varphi^*\xi)) = [\tilde{X}] \wedge \varphi^*(\xi)$  et voir  $\varphi^*(\xi)$  comme un courant de type  $(k, 0)$  et  $\bar{\partial}$ -fermé donc définissant, en vertu du lemme de Dolbeault-Grothendieck, une  $k$ -forme holomorphe sur  $\tilde{X}$  et on termine comme dans le cas fini.

dans lequel  $\tilde{X}$  est une résolution de  $X$  et  $Z$  une résolution du produit fibré réduit  $\tilde{X} \times_X Y$ , nous ramène à traiter essentiellement la situation donnée par le diagramme commutatif

$$\begin{array}{ccc}
 Y & & \\
 \psi \downarrow & \searrow \pi & \\
 \tilde{X} & \xrightarrow{v} & X
 \end{array}$$

Soit  $\xi$  une forme méromorphe sur  $X$  (à pôles dans le lieu singulier de  $X$ ). Alors,  $v^*(\xi)$  est une forme méromorphe à pôles dans le diviseur exceptionnel dont l'image réciproque  $\psi^*(v^*(\xi))$  est holomorphe sur  $Y$ . Mais ceci n'est possible que si et seulement si  $v^*(\xi)$  est déjà holomorphe sur  $\tilde{X}$  comment on s'en convainc aisément en utilisant le lemme de Dolbeault-Grothendieck. En effet,  $\pi^*(\xi)$  étant holomorphe définit un courant  $\bar{\partial}$ -fermé dont l'image directe  $\psi_*(\pi^*(\xi))$  est encore un courant  $\bar{\partial}$ -fermé. Mais,  $\tilde{X}$  étant lisse, ce courant correspond exactement à une forme holomorphe. On termine, alors, en constatant que

$$\psi_*(\pi^*(\xi)) = \psi_*\psi^*(v^*\xi) = v^*\xi$$

puisque  $\tilde{X}$  est lisse (donc normal!)<sup>2</sup>

On en déduit, alors, que  $\xi$  est une section du faisceau  $\mathcal{L}_X^k$  ■ □

**Corollaire 2.3.** *Soient  $k$  un entier naturel non nul et  $X$  un espace analytique complexe réduit. Alors, le faisceau  $\omega_X^k$  est stable par image réciproque de morphismes d'espaces complexes si et seulement si  $\omega_X^k = \mathcal{L}_X^k$ .*

*Proof.* Supposons que ce soit le cas et considérons, à cet effet, le morphisme de désingularisation  $\pi : \tilde{X} \rightarrow X$ . Alors, par hypothèse, on a un morphisme  $\omega_X^k \rightarrow \pi_*\omega_{\tilde{X}}^k$ . Comme  $\pi_*\omega_{\tilde{X}}^k = \pi_*\Omega_{\tilde{X}}^k = \mathcal{L}_X^k$ ,  $\omega_X^k \rightarrow \pi_*\Omega_{\tilde{X}}^k = \mathcal{L}_X^k$ , on a, donc, un morphisme  $\omega_X^k \rightarrow \mathcal{L}_X^k$  qui est nécessairement injectif puisque ces faisceaux coïncident génériquement sur  $X$  et sont sans torsion. Or, on sait déjà que  $\mathcal{L}_X^k$  est un sous faisceau de  $\omega_X^k$ . D'où la conclusion ■ □

**Remarques 2.4.** La condition de surjectivité est essentielle pour éviter le cas d'un plongement pour lequel le critère n'est pas valable comme le montre l'exemple simple suivant de  $X := \{(x, y, z) \in \mathbb{C}^3 : xy^2 = z^2\}$  et de la forme  $\frac{dz}{y}$  qui est une section du faisceau  $\omega_X^1$  sans l'être pour  $\mathcal{L}_X^1$  et qui, par restriction à la courbe  $(x = t^2, y = t, z = t^2)$ , donne une forme holomorphe!

Signalons le résultat relativement récent de [KeSc] (**theorem 1.1**) que l'on peut réécrire sous la forme

**Théorème 2.5.** *Soit  $X$  un espace analytique complexe réduit de dimension pure  $m$ . Alors, une section  $\xi$  du faisceau  $\omega_X^k$  est une section du faisceau  $\mathcal{L}_X^k$  si et seulement si  $\xi$  (resp.  $d\xi$ ) est une section de  $\text{Hom}(\Omega_X^{m-k}, \mathcal{L}_X^m)$  (resp. de  $\text{Hom}(\Omega_X^{m-k-1}, \mathcal{L}_X^m)$ ).*

---

<sup>2</sup>On peut supposer  $X$  normal et utiliser la factorisation de Stein de  $\pi$  donnée par  $Y \xrightarrow{\alpha} Y' \xrightarrow{\beta} X$

avec  $\alpha$  propre à fibres connexes (i.e  $\alpha_*\mathcal{O}_Y = \mathcal{O}_{Y'}$ ) et  $\beta$  fini, surjectif et ouvert puisque  $X$  est normal. alors,  $\pi_*\pi^*(\xi) = \beta_*(\alpha_*\alpha^*(\beta^*(\xi))) = \beta_*\beta^*(\xi)$  supposé holomorphe par Dolbeault-Grothendieck. Mais comme  $\beta$  est un revêtement ramifié d'un certain degré  $k$ , le courant  $\beta_*\beta^*(\xi)$  coïncide avec la trace  $\text{Tr}_\beta(\beta^*\xi) = k.\xi$  qui montre bien que  $\xi$  est holomorphe.

### 3. IMAGE RÉCIPROQUE POUR CERTAINES CLASSES DE MORPHISMES.

Dans ce paragraphe, nous mettons en évidence quelques situations pour lesquelles la construction d'une image réciproque ne nécessite que très peu d'efforts. L'aspect fonctoriel des constructions a été volontairement survolé sachant qu'il sera développé dans le cas général.

**Théorème 3.1.** *Soit  $\pi : X \rightarrow S$  un morphisme d'espaces analytiques réduits de dimension pure  $m$  et  $r$  respectivement. Alors, si*

(i)  $\pi$  est surjectif avec l'une des propriétés: propre, universellement  $(m-r)$ -équidimensionnel ou  $(m-r)$ -équidimensionnel ou

(ii)  $\pi$  est admissible (i.e  $\pi^{-1}(\text{Sing}(S))$  d'intérieur vide dans  $X$ ),

il existe un unique morphisme de faisceaux cohérents  $\bar{\pi}^* : \mathcal{L}_S^\bullet \rightarrow \pi_* \mathcal{L}_X^\bullet$  prolongeant naturellement l'image réciproque des formes holomorphes usuelles, compatible avec la composition des morphismes de même nature que dans (i) ou (ii) c'est-à-dire si

$X \xrightarrow{f} Y \xrightarrow{g} Z$  est la composée de morphismes d'espaces complexes réduits avec  $f$  et  $g$  surjectifs propres ou  $m-r$ -équidimensionnel ou  $m-r$ -équidimensionnel ou bien satisfaisant les relations d'incidence  $g^{-1}(\text{Sing}(Z))$  (resp.  $f^{-1}(\text{Sing}(Y) \cup h^{-1}(\text{Sing}(Z)))$ ) soit d'intérieur vide dans  $Y$  (resp.  $X$ ), on a  $\bar{h}^* = \bar{f}^* \circ \bar{g}^*$ .

*Proof.* (i) • **Cas propre et surjectif:** Il peut être vu comme un corollaire de la Proposition 2.2 puisque pour une résolution des singularités  $\theta : \tilde{X} \rightarrow X$ , la composée  $\psi := \pi \circ \theta$  est un morphisme propre surjectif d'une variété lisse sur  $S$ . D'après cette proposition, l'image réciproque  $\psi^*(\xi)$  de toute section  $\xi$  du faisceau  $\mathcal{L}_S^k$  se prolonge holomorphiquement sur  $\tilde{X}$  c'est-à-dire  $\theta^*(\pi^*(\xi))$  holomorphe. Mais cela signifie exactement que  $\pi^*(\xi)$  est une section du faisceau  $\mathcal{L}_X^k$ . On définit ainsi le morphisme de  $\mathcal{O}_S$ -modules cohérents

$$\bar{\pi}^* : \mathcal{L}_S^\bullet \rightarrow \pi_* \mathcal{L}_X^\bullet$$

défini par  $\bar{\pi}^*(\xi) := \theta_*(\psi^*(\xi))$  et dépendant a priori de  $\theta$ . Mais, on en vérifie facilement l'indépendance. En effet, sachant que deux résolutions peuvent être coiffées par une troisième, on se ramène à des diagrammes commutatifs du type

$$\begin{array}{ccccc}
 & & X_3 & & \\
 & \varphi & \downarrow & \varphi' & \\
 X_1 & & & & X_2 \\
 & \theta & \downarrow \varphi'' & \downarrow \theta' & \\
 & & X & & \\
 & & \downarrow \pi & & \\
 & & S & & 
 \end{array}$$

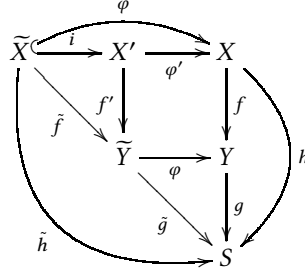
dont il est facile de déduire la conclusion grâce au lemme de Dolbeault-Grothendieck puisque

$$\varphi_* \varphi^* = \text{Id}, \quad \varphi'_* \varphi'^* = \text{Id}$$

Comme on peut le remarquer, c'est essentiellement les mêmes arguments que ceux évoqués pour l'indépendance du faisceau  $\mathcal{L}_X^k$  vis-à-vis de la résolution choisie.

Pour établir la *compatibilité avec la composition* des morphismes propres surjectifs, on

considère la composée donnée par  $X \xrightarrow{f} Y \xrightarrow{g} S$  et un diagramme du type



où  $X'$  (resp.  $\tilde{X}$ ) désigne la préimage totale (resp. stricte) pour la désingularisation  $\varphi$  de  $Y$ , et de voir que la relation  $(f \circ g)^* = \bar{g}^* \circ \bar{f}^*$  se déduit de la comparaison des courants

$$\begin{aligned} \bar{h}^*(\xi) &:= \tilde{\varphi}_* \tilde{\varphi}^*(h^*(\xi)) = \tilde{\varphi}_* \tilde{\varphi}^*(f^*(g^*(\xi))) = \tilde{\varphi}_*(\tilde{f}^*(\varphi^*(g^*(\xi)))) \\ \bar{f}^*(\bar{g}^*(\xi)) &:= \tilde{\varphi}_* \tilde{\varphi}^*(f^*(\varphi_* \varphi^* g^*(\xi))) = \tilde{\varphi}_*(\tilde{f}^*(\varphi^*(\varphi_* \varphi^* g^*(\xi)))) \end{aligned}$$

puisque, en tant que courants, on a  $\varphi_* \varphi^* g^*(\xi) = g^*(\xi)$  car, pour toute forme  $C^\infty$  de type  $(m-k, m)$  sur  $Y$ ,

$$\langle \varphi_* \varphi^* g^*(\xi), \psi \rangle = \langle \varphi^* g^*(\xi), \varphi_* \psi \rangle = \int_{\tilde{Y} \setminus E} \varphi^* g^*(\xi) \wedge \varphi_* \psi = \int_{\text{reg}(Y)} g^*(\xi) \wedge \psi = \langle g^*(\xi), \psi \rangle$$

• **Cas d'un morphisme à fibres de dimension constante ouvert ou équidimensionnel.** Comme les faisceaux considérés sont invariants par modifications propres et que l'ouverture et la constance de la dimension des fibres sont des notions préservées dans tout changement de base, on peut supposer la base normale. En effet, si  $\nu : \tilde{S} \rightarrow S$  est la normalisation de  $S$  et

$$\begin{array}{ccc} \tilde{X} & \xrightarrow{\tilde{\nu}} & X \\ \tilde{\pi} \downarrow & & \downarrow \pi \\ \tilde{S} & \xrightarrow{\nu} & S \end{array}$$

le diagramme induit par changement de base ( $\nu$  et  $\tilde{\nu}$  étant des modifications propres), on voit que l'existence d'une image réciproque pour  $\tilde{\pi}$  entraîne automatiquement celle pour  $\pi$  puisqu'il suffit d'appliquer le foncteur  $\nu_*$  au morphisme  $\mathcal{L}_{\tilde{S}}^k \rightarrow \tilde{\pi}_* \mathcal{L}_{\tilde{X}}^k$  pour avoir le morphisme  $\nu_* \mathcal{L}_{\tilde{S}}^k \rightarrow \nu_* \tilde{\pi}_* \mathcal{L}_{\tilde{X}}^k$  qui s'écrit aussi  $\mathcal{L}_S^k \rightarrow \pi_* \mathcal{L}_X^k$ .

On peut, alors, utiliser le **théorème 1** de [K3] et la caractérisation de [KeSc] disant que, pour un espace complexe réduit  $Y$  de dimension pure  $m$ ,

$$\xi \in \mathcal{L}_Y^k \iff \xi \wedge \alpha \text{ et } d\xi \wedge \beta \in \mathcal{L}_Y^m, \forall \alpha \in \Omega_Y^{m-k}, \forall \beta \in \Omega_Y^{m-k-1}$$

se traduisant, vue l'injection naturelle

$$\mathcal{L}_Y^k \hookrightarrow \mathcal{H}om(\Omega_Y^{m-k}, \mathcal{L}_Y^m)$$

par

une section  $\xi$  de  $\mathcal{H}om(\Omega_Y^{m-k}, \mathcal{L}_Y^m)$  est une section du faisceau  $\mathcal{L}_Y^k$  si et seulement si  $d\xi$  est une section de  $\mathcal{H}om(\Omega_Y^{m-k-1}, \mathcal{L}_Y^m)$  (stabilité par différentiation extérieure).

On notera  $\tilde{\mathcal{L}}_Y^k := \mathcal{H}om(\mathcal{L}_Y^{m-k}, \mathcal{L}_Y^m)$  le sous faisceau naturel de  $\mathcal{H}om(\Omega_Y^{m-k}, \mathcal{L}_Y^m)$ .

Alors, d'après le **théorème 1** de [K3], on a un morphisme d'image réciproque défini en tout degré  $k$ :

$$\pi^* \tilde{\mathcal{L}}_S^k \rightarrow \tilde{\mathcal{L}}_X^k \text{ ou } \tilde{\mathcal{L}}_S^k \rightarrow \pi_* \tilde{\mathcal{L}}_X^k$$

Alors, comme toute section  $\xi$  de  $\mathcal{L}_S^k$  est aussi une section  $\tilde{\mathcal{L}}_S^k$  (puisque  $\mathcal{L}_S^k \subset \tilde{\mathcal{L}}_S^k$ ),  $\pi^*(\xi)$  définit une section de  $\tilde{\mathcal{L}}_X^k$  et, donc, de  $\mathcal{H}om(\Omega_X^{m-k}, \mathcal{L}_X^m)$ .

Par ailleurs,

$$\xi \in \mathcal{L}_S^k \implies d\xi \in \mathcal{L}_S^{k+1}$$

et, par conséquent,

$$\pi^*(d\xi) := d\pi^*(\xi) \in \tilde{\mathcal{L}}_X^{k+1} \subset \mathcal{H}om(\Omega_X^{m-k-1}, \mathcal{L}_X^m)$$

Cela prouve, d'après le critère de [KeSc], que  $\pi^*(\xi)$  définit une section du faisceau  $\mathcal{L}_X^k$  et, par suite, l'existence de diagrammes commutatifs

$$\begin{array}{ccccc} \tilde{\Omega}_S^k & \longrightarrow & \mathcal{L}_S^k & \longrightarrow & \tilde{\mathcal{L}}_S^k \\ \downarrow & & \downarrow & & \downarrow \\ \pi_* \tilde{\Omega}_X^k & \longrightarrow & \pi_* \mathcal{L}_X^k & \longrightarrow & \pi_* \tilde{\mathcal{L}}_X^k \end{array}$$

$\tilde{\Omega}_S^k$  désignant le faisceau  $\Omega_S^k$  modulo torsion (idem sur  $X$ ); assurant la compatibilité avec l'image réciproque des formes holomorphes usuelles.

le cas d'un morphisme propre surjectif peut aussi se déduire du cas géométriquement plat en vertu du théorème d'applatissage algébrique<sup>3</sup> de Hironaka ([H1]) qui prouve l'existence d'une modification  $\varphi : \tilde{S} \rightarrow S$  et d'un diagramme commutatif

$$\begin{array}{ccc} \tilde{X} & \xrightarrow{\tilde{\varphi}} & X \\ \tilde{\pi} \downarrow & & \downarrow \pi \\ \tilde{S} & \xrightarrow{\varphi} & S \end{array}$$

dans lequel  $\tilde{\pi}$  est plat,  $\tilde{X}$  constitué de toutes les composantes irréductibles du produit fibré  $X \times_S \tilde{S}$  qui se surjectent sur  $\tilde{S}$  (c-à-d la préimage stricte de  $X$ ) et  $\tilde{\varphi}$  est une modification propre.

Dans ce cas, étant plat,  $\tilde{\pi}$  est géométriquement plat et on peut appliquer ce qui précède pour définir le morphisme d'image réciproque  $\mathcal{L}_S^k \rightarrow \pi_* \mathcal{L}_X^k$ .

De plus, on vérifie aisément que ces constructions sont:

• **invariantes par modification propre de la base.** En effet, soit donné un diagramme commutatif

$$\begin{array}{ccccc} X_2 & \xrightarrow{\theta_2} & X & \xleftarrow{\theta_1} & X_1 \\ \pi_2 \downarrow & & \downarrow \pi & & \downarrow \pi_1 \\ S_2 & \xrightarrow{v_2} & S & \xleftarrow{v_1} & S_1 \end{array}$$

dans lequel tous les morphismes sont propres (ceux autres que  $\pi$ ,  $\pi_1$  et  $\pi_2$  sont des modifications). Alors, les faisceaux  $\mathcal{L}_X^q$  et  $\mathcal{L}_S^q$  ne dépendent pas des résolutions ou modifications choisies pour les décrire, on a

$$\mathcal{L}_X^k = \theta_{2*} \mathcal{L}_{X_2}^k = \theta_{1*} \mathcal{L}_{X_1}^k, \quad \mathcal{L}_S^k = v_{2*} \mathcal{L}_{S_2}^k = v_{1*} \mathcal{L}_{S_1}^k$$

<sup>3</sup>Dans [B2], on trouve une version géométrique traitant le cas d'un morphisme propre génériquement à fibres de dimension constante et génériquement réduites et que l'on a une version locale d'applatissage pour un morphisme génériquement ouvert dans [Si].

et, donc,

$$\begin{array}{ccccc} \mathcal{L}_S^k & \xlongequal{\quad} & v_{2*} \mathcal{L}_{S_2}^k & \xlongequal{\quad} & v_{1*} \mathcal{L}_{S_1}^k \\ \downarrow & & \downarrow & & \downarrow \\ \pi_* \mathcal{L}_X^k & \xlongequal{\quad} & \pi_{2*}(\theta_{2*} \mathcal{L}_{X_2}^k) & \xlongequal{\quad} & \pi_{1*}(\theta_{1*} \mathcal{L}_{X_1}^k) \end{array}$$

• compatibles avec la composition.

Supposons donnés la composée  $X \xrightarrow{f} Y \xrightarrow{g} S$  de morphismes ouverts à fibres de dimension constante. Comme  $h$  est aussi ouvert et à fibres de dimension constante, on peut, là encore, supposer  $S$  normal au vu du diagramme de changement de base donné par la normalisation

$$\begin{array}{ccccc} & \tilde{X} & \xrightarrow{\theta} & X & \\ & \downarrow \tilde{f} & & \downarrow f & \\ \tilde{h} & \tilde{Y} & \xrightarrow{\tilde{\varphi}} & Y & h \\ & \downarrow \tilde{g} & & \downarrow g & \\ & \tilde{S} & \xrightarrow{\varphi} & S & \end{array}$$

Pour s'assurer de la relation  $\overline{(f \circ g)^*} = \bar{g}^* \circ \tilde{f}^*$ , on peut raisonner génériquement sachant que les faisceaux sont sans torsion ou utiliser le **théorème 1** de [K3] en notant que

$$g_*(f_* \mathcal{L}_X^k) \simeq g_*(f_* \theta_* \mathcal{L}_{X_2}^k) \simeq g_*(\tilde{\varphi}_*(\tilde{f}_* \mathcal{L}_{\tilde{X}}^k)) \simeq \varphi_*(\tilde{h}_* \mathcal{L}_{\tilde{X}}^k) \simeq h_* \mathcal{L}_X^k$$

(ii) Pour prouver l'existence d'une image réciproque sous cette condition d'incidence, il est possible de vérifier que les formes holomorphes génériques obtenues par image réciproque sont méromorphes et vérifient des conditions de croissance  $L^2$  au sens de la **Définition 1.6**. Il est préférable, à notre sens, d'utiliser la functorialité de la résolution des singularités et la caractérisation de ces formes par résolution et leur invariance par modification propre pour simplifier l'exposé. Ainsi, à tout morphisme d'espaces complexes réduits  $f : X \rightarrow Y$  donné est associé un diagramme commutatif

$$\begin{array}{ccc} \tilde{X} & \xrightarrow{\tilde{f}} & \tilde{Y} \\ \varphi' \downarrow & & \downarrow \varphi \\ X & \xrightarrow{f} & Y \end{array}$$

dans lequel  $\varphi$  est une résolution des singularités de  $Y$ ,  $\tilde{X}$  la préimage stricte de  $X$ ,  $\varphi'$  une modification propre et  $\tilde{f}$  la transformée stricte de  $f$ .

On pose, alors,

$$\tilde{f}^*(\xi) := \varphi'_*(\tilde{f}^*(\varphi^*\xi))$$

On peut supposer ce courant  $\bar{\partial}$ -fermé sans torsion et, donc, définissant une section du faisceau  $\omega_X^q$ . Mais comme  $\varphi'$  est une modification et que  $\tilde{f}^*(\varphi^*\xi)$  est une forme holomorphe,  $\tilde{f}^*(\xi)$  définit bien une section du faisceau  $\mathcal{L}_X^q$ .

On vérifie aisément que c'est l'unique prolongement de type  $L^2$  de la forme holomorphe  $f^*(\xi|_{\text{Reg}(Y)})$  sur  $X \setminus f^{-1}(\text{Sing}(Y))$ .

La démonstration est en tout point identique à celle menée dans [B5], (**thm.4.1.1**) rectifiée dans [B6], (**thm.1.0.1**) et à laquelle nous renvoyons le lecteur ■  $\square$

## 4. REMARQUES.

On peut remarquer que ces constructions supposent la surjectivité des morphismes ou la condition d'incidence qui permettent des raisonnements sur les parties génériques. Comme on l'a vu dans [K3], ces conditions ne sont pas suffisantes pour déterminer une image réciproque pour les faisceaux  $\omega_Z^{bullet}$ . Il suffit de le constater sur l'exemple simple de la normalisation  $v : \mathbb{C}^2 \rightarrow Z := \{(x, y, z) \in \mathbb{C}^3 : xy^2 = z^2\}$  envoyant  $(u, v)$  sur  $(u^2, v, uv)$  et la forme méromorphe  $\frac{dz}{y}$ .

## 5. MORPHISME DE RESTRICTION: CAS PARTICULIER.

**5.1. La restriction sur les faisceaux  $\mathcal{L}_X^\bullet$ .** Ayant pour objectif de définir l'image réciproque par un morphisme arbitraire sur ces faisceaux et le problème étant de nature local, on se ramène fondamentalement au cas où ce morphisme est la composé d'un plongement suivi d'une projection (factorisation par le graphe) et, donc, au cas d'un plongement, celui de la projection étant trivial!

La partie substantielle du [Théorème 0.1](#) consiste à définir cette restriction car le reste n'en est qu'une conséquence. Dans ce paragraphe, nous montrons le

**Théorème 5.1.** *Soit  $X$  un espace analytique complexe réduit de dimension pure  $m$ . Alors, pour tout sous espace fermé  $Y$  de  $X$  muni d'un plongement local  $i$ , il existe un morphisme  $\mathcal{O}_Y$ -linéaire de faisceaux cohérents  $i^* : \mathcal{L}_X^q \rightarrow i_* \mathcal{L}_Y^q$  prolongeant naturellement la restriction usuelle des formes holomorphes rendant (modulo torsion du faisceau des formes holomorphes) commutatif le diagramme*

$$\begin{array}{ccc} \Omega_X^q & \longrightarrow & i_*(\Omega_Y^q) \\ \downarrow & & \downarrow \\ \mathcal{L}_X^q & \xrightarrow{i^*} & i_* \mathcal{L}_Y^q \end{array}$$

De plus, on a, pour toute forme holomorphe  $\alpha$  et toute section  $\xi$  du faisceau  $\mathcal{L}_X^q$ , la relation de compatibilité avec le produit extérieur

$$i^*(\alpha \wedge \xi) = i^*(\alpha) \wedge i^*(\xi)$$

et avec la composition des plongements locaux  $Y' \xrightarrow{i'} Y \xrightarrow{i} X$

$$i^{**} = i'^* \circ i^*$$

**5.2. Construction et définition d'une restriction dans le cas lisse.** La définition que nous avons en vue utilise l'intégration sur les fibres. Avant de la proposer dans le cas général, nous l'éprouvons dans le cas lisse et montrons qu'elle s'identifie à la restriction usuelle. Nous nous attarderons pas sur le caractère canonique de la construction qui sera étudié en détail dans la preuve générale.

Rappelons qu'une forme de Kähler relative pour un morphisme propre et surjectif (donc localement kählérien)  $\pi : X \rightarrow T$  représente une classe de  $H^1(X, \Omega_X^1)$  qui est en fait une section de  $H^0(T, \mathbb{R}^1 \pi_* \Omega_{X/T}^1)$  dont la restriction à chaque fibre est une classe de Kähler; nous renvoyons le lecteur à [Fu-Sc], [Sc] et [Va] pour la définition des formes de Kähler relatives.

**Proposition 5.2.** *Soit  $\pi : X \rightarrow Y$  un morphisme propre et surjectif d'espaces complexes réduits dont la dimension générique des fibres est  $n$ . Soient  $q$  un entier naturel,  $\xi$  une section du faisceau  $\mathcal{L}_X^q$  et  $\omega$  une forme de Kähler relative. Alors, la forme  $\int_{X/Y} \xi \wedge \omega^n$ , définie génériquement sur  $Y$ , se prolonge en une unique section du faisceau  $\mathcal{L}_Y^q$ .*

*Proof.* Comme  $\pi$  est propre et surjectif, l'image directe  $\pi_*(\xi \wedge \omega^n)$  définit un courant de type  $(q, 0)$  et, donc, modulo torsion, une section du faisceau  $\omega_Y^q$ . Mais  $Y$  étant réduit, il existe un ouvert dense de  $Y$  sur lequel  $\pi$  est géométriquement plat (resp. plat). Alors, le théorème d'appâtissement géométrique de ([B2], [Si]) (resp. d'appâtissement algébrique de [H1]) montre qu'il existe une modification  $\nu : \tilde{Y} \rightarrow Y$  et un diagramme commutatif

$$\begin{array}{ccc} \tilde{X} & \xrightarrow{\Theta} & X \\ \tilde{\pi} \downarrow & & \downarrow \pi \\ \tilde{Y} & \xrightarrow{\nu} & Y \end{array}$$

dans lequel  $\tilde{\pi}$  est géométriquement plat (resp. plat) et  $\Theta$  une modification propre. Le théorème d'intégration sur les fibres d'un morphisme géométriquement plat (cf [K0]) assure que l'intégrale sur les fibres  $\int_{\tilde{X}/\tilde{Y}} \Theta^*(\xi \wedge \omega^n)$  définit une section du faisceau  $\mathcal{L}_{\tilde{Y}}^q$  (signalons au passage que  $\Theta^*\omega$  est une forme de Kähler relative) que l'on peut aussi voir comme courant image directe  $\tilde{\pi}_*(\Theta^*(\xi \wedge \omega^n))$ . Or, les courants  $\bar{\partial}$ -fermés  $\nu_*(\int_{\tilde{X}/\tilde{Y}} \Theta^*(\xi \wedge \omega^n))$  et  $\pi_*(\xi \wedge \omega^n)$  coïncident génériquement sur  $Y$  (par construction et en vertu de la formule du changement de base pour un morphisme propre!). Par conséquent, modulo torsion et, donc, en tant que sections du faisceau  $\omega_Y^q$ , ils coïncident partout sur  $Y$ . Comme on a  $\mathcal{L}_Y^q = \nu_*\mathcal{L}_{\tilde{Y}}^q$ , on en déduit le résultat.

En termes de courants, on peut remarquer que l'égalité

$$\langle \tilde{\pi}_*(\Theta^*(\xi \wedge \omega^n)), \varphi \rangle = \int_{\tilde{X}} \Theta^*(\xi \wedge \omega^n) \wedge \tilde{\pi}^*(\varphi)$$

donne, en particulier, pour  $\varphi = \nu^*(\psi)$ ,

$$\langle \tilde{\pi}_*(\Theta^*(\xi \wedge \omega^n)), \varphi \rangle = \langle \pi_*(\xi \wedge \omega^n), \psi \rangle$$

qui suffit aussi pour conclure ■

□

**Proposition 5.3.** *Soient  $Z$  une variété analytique complexe de dimension pure  $m$  et  $T$  un sous ensemble analytique de codimension  $r$  dans  $Z$  muni d'un plongement local  $i$ . Soient  $\pi : \tilde{Z} \rightarrow Z$  une modification propre de centre lisse  $T$  et  $\omega$  une forme de Kähler  $\pi$ -relative. Soit  $Y$  un sous espace de  $Z$  muni d'un plongement local  $i$ . Alors, pour toute section  $\xi$  du faisceau  $\Omega_Z^q$  sur un ouvert  $U$ , on pose*

$$\mathcal{R}_{Z,Y}^{\pi,\omega}(\xi) = \tilde{\pi}_*(\pi^*(\xi) \wedge \omega^k|_{\tilde{Y}}) \text{ avec}$$

- $k = 0$  si  $Y \cap T = \emptyset$  (resp.  $Y \cap T \subseteq Y$ ) et  $\tilde{\pi}$  est l'isomorphisme (resp. la modification propre) induit (e) par  $\pi$  sur la préimage totale (resp. stricte)  $\tilde{Y} := \pi^{-1}(Y)$  sur  $Y$ ,
- $k = r - 1$  si  $Y \subseteq T$  et  $\tilde{\pi}$  le morphisme induit par  $\pi$  sur la préimage totale de  $Y$ .

Alors,  $\mathcal{R}_{Z,Y}^{\pi,\omega}(\xi)$  est un courant  $\bar{\partial}$ -fermé sans torsion définit une section du faisceau  $\Omega_Y^q$  indépendante des choix faits et induit, de ce fait, un morphisme  $\mathcal{O}_Y$ -linéaire de faisceaux cohérents  $i^* : \Omega_Z^q \rightarrow i_*\Omega_Y^q$  coïncidant avec le morphisme de restriction usuel.

*Proof.* Soient  $Z$  et  $T$  comme dans l'énoncé et  $Y$  un sous espace analytique de  $Z$  comme l'on peut supposer être un sous ensemble analytique puisque cette construction est nature locale. Soient  $\pi : \tilde{Z} \rightarrow Z$  une modification propre de centre  $T$  et  $\omega$  une forme de Kähler

relative pour  $\pi$ . Alors, pour tout ouvert  $U$  de  $Z$  et toute section  $\xi$  du faisceau  $\Omega_Z^q$  sur  $U$ , on pose

$$\mathcal{R}_{Z,Y}^{\pi,\omega}(\xi) = \tilde{\pi}_*(\pi^*(\xi) \wedge \omega^k|_{\tilde{Y}})$$

avec:

- $k = 0$  si  $Y \cap T = \emptyset$  (resp.  $Y \cap T \subsetneq Y$ ) et  $\tilde{\pi}$  est l'isomorphisme (resp. la modification propre) induit (e) par  $\pi$  sur la préimage totale (resp. stricte)  $\tilde{Y} := \pi^{-1}(Y)$  sur  $Y$ ,
- $k = r - 1$  si  $Y \subseteq T$  et  $\tilde{\pi}$  le morphisme induit par  $\pi$  sur la préimage totale de  $Y$ .

(a) ★ Si  $Y \cap T = \emptyset$ , le résultat est trivial puisque  $\pi$  est un isomorphisme analytique de  $\tilde{Z} \setminus \pi^{-1}(T)$  sur  $Z \setminus T$ . Dans ce cas, il est évident que le courant  $\tilde{\pi}_*(\pi^*(\xi)|_{\tilde{Y}})$  coïncide naturellement avec la restriction usuelle de la forme  $\xi$  puisque la préimage totale  $\tilde{Y} := \pi^{-1}(Y)$  est isomorphe à  $Y$ .

★ Si l'intersection  $Y \cap T$  est d'intérieur vide dans  $Y$ , le morphisme  $\pi$  induit sur la préimage stricte  $\tilde{Y}$  (qui est l'adhérence de  $\pi^{-1}(Y \setminus Y \cap T)$  dans le produit fibré  $\tilde{Z} \times_Z Y$ ) une modification propre de centre  $Y \cap T$  installée dans le diagramme commutatif

$$\begin{array}{ccc} \tilde{Y} & \xrightarrow{\tilde{i}} & \tilde{Z} \\ \tilde{\pi} \downarrow & & \downarrow \pi \\ Y & \xrightarrow{i} & Z \end{array}$$

Alors, pour toute section  $\xi$  du faisceau  $\Omega_Z^q$ , le courant  $\mathcal{R}_{Z,Y}^{\pi,\omega}(\xi) := \tilde{\pi}_*(\tilde{i}^*(\pi^*(\xi)))$  est  $\bar{\partial}$ -fermé et sans torsion puisque non trivial sur  $Y \setminus Y \cap T$  car ce n'est rien d'autre que la restriction usuelle de la forme holomorphe  $\xi$  d'après ce que l'on a dit précédemment. Il définit, donc, naturellement une section du faisceau  $\omega_Y^q$  qui, d'après le lemme de Dolbeault-Grothendieck, est une section du faisceau  $\Omega_Y^q$  sur la partie lisse de  $Y$ . En fait, la formule de projection et la définition des courants d'intégration sur  $\tilde{Y}$  et  $Y$  respectivement, nous donnent

$$i_* \tilde{\pi}_*(\pi^*(\xi)|_{\tilde{Y}}) = \pi_*(\tilde{i}_*(\tilde{i}^*(\pi^*(\xi)))) = \pi_*(\pi^*(\xi) \wedge [\tilde{Y}]) = \xi \wedge \pi_*([\tilde{Y}]) = i_* i^*(\xi)$$

qui, au vu de l'égalité  $\pi_*([\tilde{Y}]) = [Y]$  et de l'injectivité du foncteur  $i_*$ , nous donne

$$\mathcal{R}_{Z,Y}^{\pi,\omega}(\xi) = i^*(\xi)$$

(b) Si  $Y \subseteq T$ , on a le diagramme commutatif

$$\begin{array}{ccccc} \pi^{-1}(Y) & \xrightarrow{\tilde{i}} & \pi^{-1}(T) & \longrightarrow & \tilde{Z} \\ \tilde{\pi} \downarrow & & \downarrow \pi' & & \downarrow \pi \\ Y & \xrightarrow{i} & T & \longrightarrow & Z \end{array}$$

dans lequel les morphismes  $\pi'$  et  $\tilde{\pi}$  sont lisses et  $(r - 1)$ -équidimensionnels; le premier par construction puisque  $\pi^{-1}(T)$  s'identifie au projectifié du fibré normal de  $T$  dans  $Z$ ,  $\mathbb{P}(\mathcal{N}_{T/Z})$ , le second par stabilité par changement de base des notions de lissité et de la constance de la dimension des fibres. Il apparait clairement qu'il nous suffit de traiter le cas où  $Y = T$  (le cas général s'y ramène puisque ce courant image directe coïncide avec l'intégration sur les fibres et que cette opération est compatible aux changements de bases. Alors, choisissant  $\omega$  telle  $\int_{\tilde{Y}/Y} \omega^{r-1} = 1$ , on pose

$$\mathcal{R}_{Z,Y}^{\pi,\omega}(\xi) := \tilde{\pi}_*(\pi^*(\xi) \wedge \omega^{r-1}|_{\tilde{Y}})$$

Or, on a, au sens des courants,

$$\mathcal{R}_{Z,Y}^{\pi,\omega}(\xi) := \tilde{\pi}_*(\pi^*(\xi) \wedge \omega^{r-1}|_{\tilde{Y}}) = \tilde{\pi}_*(\tilde{\pi}^*(i^*\xi) \wedge \omega^{r-1}|_{\tilde{Y}})$$

qui nous donne, grâce à la formule de projection et la normalisation choisie

$$\mathcal{R}_{Z,Y}^{\pi,\omega}(\xi) = i^*(\xi)$$

Remarquons, au passage, que l'on a de façon équivalente (en utilisant les courants d'intégration et l'injection de l'image directe  $i_*$ )

$$i_*\tilde{\pi}_*(\pi^*(\xi)\wedge\omega^{r-1}|_{\tilde{Y}}) = \pi_*(\tilde{i}_*(\tilde{i}^*(\pi^*(\xi)\wedge\omega^{r-1}))) = \pi_*(\pi^*(\xi)\wedge\omega^{r-1}\wedge[\tilde{Y}]) = \xi\wedge\pi_*(\omega^{r-1}\wedge[\tilde{Y}]) = \xi$$

L'égalité  $\pi_*(\omega^{r-1}\wedge[\tilde{Y}]) = [Y]$  s'obtient grâce à la normalisation choisie et au fait que ceux sont deux courants  $\bar{\partial}$ -fermés sans torsion, donc définissant des sections du faisceau  $\omega_Y^q$ , coïncidant génériquement sur  $Y$  (par exemple, aux points en lesquels  $\tilde{\pi}$  est submersif).

On admettra pour l'instant, les propriétés d'invariance de la construction et son caractère intrinsèque qui seront abordés dans toute leur généralité et de façon détaillée dans la preuve du cas général. ■

□

## 6. MORPHISME DE RESTRICTION: CAS GÉNÉRAL

**Proposition 6.1.** *Soit  $\pi : Z' \rightarrow Z$  un morphisme localement kählérien propre et surjectif d'espaces complexes réduits avec  $Z'$  lisse et doté d'une forme de Kähler relative  $\omega$ . Soit  $Y$  (resp.  $Y'$ ) un sous espace réduit de codimension  $r$  dans  $Z$  (resp.  $Z'$ ) muni d'un morphisme  $\pi' : Y' \rightarrow Y$  propre surjectif génériquement  $n$ -équidimensionnel tel que le diagramme*

$$\begin{array}{ccc} Y' & \xrightarrow{i'} & Z' \\ \pi' \downarrow & & \downarrow \pi \\ Y & \xrightarrow{i} & Z \end{array}$$

soit commutatif. On choisira  $\omega$  de sorte à ce que  $\int_{Y'/Y} \omega^n = 1$ .

Alors, pour toute section  $\xi$  du faisceau  $\mathcal{L}_Z^q$ , le courant défini par  $\mathcal{R}_{Z,Y}^{\pi,\omega}(\xi) := \pi'_*(\pi^*(\xi)\wedge\omega^n|_{\tilde{Y}})$  est  $\bar{\partial}$ -fermé et définit une unique section de  $\mathcal{L}_Y^q$ .

De plus, cette correspondance, induit un morphisme  $\mathcal{O}_Y$ -linéaire  $\mathcal{L}_Z^q \rightarrow i_*\mathcal{L}_Y^q$  prolongeant la restriction usuelle des formes holomorphes et rendant commutatif le diagramme

$$\begin{array}{ccc} \Omega_Z^q/\mathcal{T}_Z & \longrightarrow & i_*(\Omega_Y^q/\mathcal{T}_Y) \\ \downarrow & & \downarrow \\ \mathcal{L}_Z^q & \xrightarrow{\mathcal{R}_{Z,Y}^{\pi,\omega}} & i_*\mathcal{L}_Y^q \end{array}$$

où  $\mathcal{T}_Z$  (resp.  $\mathcal{T}_Y$ ) désigne le sous faisceau de torsion de  $\Omega_Z^q$  (resp.  $\Omega_Y^q$ ).

*Proof.* (a) Tout comme dans la Proposition 5.3, on a, pour toute forme holomorphe  $\xi$  sur  $Z$ ,

$$\mathcal{R}_{Z,Y}^{\pi,\omega}(\xi) = i^*(\xi)$$

qui découle simplement de la formule de projection et de la normalisation choisie  $\pi'_*\omega^n|_{Y'} = 1$  puisque

$$\mathcal{R}_{Z,Y}^{\pi,\omega}(\xi) := \pi'_*(\pi^*(\xi)|_{Y'} \wedge \omega^n|_{Y'}) = \pi'_*(\pi'^*(\xi|_Y) \wedge \omega^n|_{Y'}) = (\xi|_Y)\pi'_*\omega^n|_{Y'}$$

On définit ainsi un morphisme  $\mathcal{R}_{Z,Y}^{\pi,\omega} : \Omega_Z^q \rightarrow i_*\Omega_Y^q$  dont on déduit naturellement (par passage au quotient)  $\mathcal{R}_{Z,Y}^{\pi,\omega} : \Omega_Z^q/\mathcal{T}_Z \rightarrow i_*(\Omega_Y^q/\mathcal{T}_Y)$  puisque, de façon générale, un morphisme de faisceaux analytiques cohérents sur un espace complexe réduit applique toujours le sous faisceau de torsion de l'un sur le sous faisceau de torsion de l'autre. Alors, en

supposant vrai le fait que  $\mathcal{R}_{Z,Y}^{\pi,\omega}(\xi)$  définisse une section du faisceau  $\mathcal{L}_Y^q$ , l'existence et la commutativité du diagramme reliant la restriction usuelle et  $\mathcal{R}_{Z,Y}^{\pi,\omega}$  est évidente puisque l'injection naturelle  $\Omega_Y^q/\mathcal{T}_Y \rightarrow \mathcal{L}_Y^q$  nous donne le morphisme injectif  $\tilde{\pi}_*(\Omega_Y^q/\mathcal{T}_Y) \rightarrow \mathcal{L}_Y^q$  (puisque  $\tilde{\pi}_*\mathcal{L}_Y^q = \mathcal{L}_Y^q$ ) et de même sur  $Z$ .

(b) Il nous faut montrer que, pour toute section  $\xi$  du faisceau  $\mathcal{L}_Z^q$ , on définit bien par ce procédé un section du faisceau  $\mathcal{L}_Y^q$ .

Comme le courant  $\mathcal{R}_{Z,Y}^{\pi,\omega}(\xi) := \pi'_*(\pi^*(\xi)|_{Y'} \wedge \omega^n|_{Y'})$  est de type  $(q, 0)$  et  $\bar{\partial}$ -fermé sur  $Y$  définissant, sur sa partie lisse, en vertu du lemme de Dolbeault-Grothendieck, une  $q$ -forme holomorphe d'ailleurs non triviale (comme on peut s'en convaincre aisément en nous restreignant sur la partie régulière du morphisme  $\pi'$ ), il est sans torsion et définit, par suite, une unique section du faisceau  $\omega_Y^q$ . Pour montrer que cette construction nous donne, en fait, une section du faisceau  $\mathcal{L}_Y^q$ , on peut soit utiliser le fait que, pour toute désingularisation de  $Y$ , ce procédé nous fournit une forme holomorphe et, par conséquent,  $\mathcal{R}_{Z,Y}^{\pi,\omega}(\xi)$  est en fait une section du faisceau  $\mathcal{L}_Y^q$  (cet argument fait appel à une formule de transitivité que l'on verra un peu plus loin), soit la [Proposition 5.2](#) qui montre que le courant obtenu est bien une section de ce faisceau. En effet, comme cette image directe est donnée, au moins génériquement, par l'intégrale sur les fibres  $\int_{Y'/Y} \pi^*(\xi)|_{Y'} \wedge \omega^n|_{Y'}$ , on montre, alors, que l'on construit, ainsi, une forme holomorphe sur  $Y$  qui n'est autre que la restriction usuelle de la forme  $\xi$  ce dont on s'en convainc aisément, vu la nature locale de notre problème est de nature locale sur  $Z$  (et  $Y$ ). On peut, quitte à rétrécir les données, le supposer plonger dans un ouvert de Stein  $W$  d'un certain espace numérique  $\mathbb{C}^N$  de sorte à ce que toute forme holomorphe sur  $Z$  soit induite (par passage au quotient) par une forme holomorphe sur  $W$  et, par suite, supposer  $Z$  lisse. En effet, dans ce cadre local, il existe une désingularisation plongée de  $Z$  donnée par l'installation

$$\begin{array}{ccccc} Y' & \xrightarrow{i'} & \tilde{Z} & \xrightarrow{\sigma'} & W' \\ \pi' \downarrow & & \pi \downarrow & & \downarrow \varphi \\ Y & \xrightarrow{i} & Z & \xrightarrow{\sigma} & W \end{array}$$

On se ramène ainsi au cas lisse traité dans la [Proposition 5.3](#) puisque, pour toute forme holomorphe  $\xi$  sur  $W$ , on a, en posant  $\tau := i \circ \sigma$  (resp.  $\tau' := i' \circ \sigma'$ ) la relation

$$\tau^*(\xi) = \pi'_*(\varphi^*(\xi)|_{Y'} \wedge \omega^n|_{Y'})$$

En effet, on a, au sens des courants,

$$\tau_*\pi'_*(\varphi^*(\xi)|_{Y'} \wedge \omega^n|_{Y'}) = \varphi_*(\tau'_*\tau^*(\varphi^*(\xi) \wedge \omega^n)) = \varphi_*(\varphi^*(\xi) \wedge \omega^n \wedge [Y']) = \xi \wedge \varphi_*(\omega^n \wedge [Y'])$$

Mais,  $\varphi_*(\omega^n \wedge [Y']) = [Y]$  comme on s'en convainc aisément grâce à la submersivité de  $\pi'$ . Ainsi, obtient-on l'égalité des courants

$$\tau_*\tau^*\xi = \tau_*\pi'_*(\varphi^*(\xi)|_{Y'} \wedge \omega^n|_{Y'})$$

garantissant l'égalité cherchée par injectivité de l'image directe.

Remarquons que si le sous ensemble au dessus duquel  $\pi'$  est submersif est de codimension deux (ou plus), toute forme holomorphe de  $Y$  définie en dehors de sous ensemble est automatiquement une section du faisceau  $\omega_Y^q$  qui est de profondeur au moins deux.

Cette opération d'intégration le long des fibres applique le faisceau de torsion  $\mathcal{T}_Z$  sur le faisceau de torsion  $\mathcal{T}_Y$ ; d'ailleurs, le lecteur désireux de voir les détails de cette assertion peut se référer à ([\[B3\]](#), *prop (1.0.1), cor (1.0.2)*; p.3-4)). La [Proposition 6.1](#) permet de définir un morphisme de faisceaux  $\mathcal{R}_{Z,Y}^{\pi,\omega}$  entre les faisceaux  $\mathcal{L}_Z^q$  et  $i_*\mathcal{L}_Y^q$ . Comme le faisceaux cohérent  $\Omega_Z^q/\mathcal{T}_Z$  (resp.  $i_*(\Omega_Y^q/\mathcal{T}_Y)$ ) s'injecte dans  $\mathcal{L}_Z^q$  (resp.  $i_*\mathcal{L}_Y^q$ ), la commutativité du diagramme de la proposition devient évidente. En effet, partant d'une forme holomorphe sans torsion  $\xi$ , on obtient une forme holomorphe  $i^*(\xi)$  sans torsion sur  $Y$  pouvant être

vu comme une section du faisceau  $\mathcal{L}_Y^q$ . Mais alors, en tant que section de ce dernier, elle coïncide génériquement sur  $Y$  ( en les points de submersivité de  $\pi'$  par exemple) avec  $\int_{Y'/Y} \pi^*(\xi)|_{Y'} \wedge \omega^n|_{Y'}$ , d'après (a). Comme le faisceau  $\mathcal{L}_Y^q$  est sans torsion, ces deux sections s'identifient sur  $Y$  tout entier ■

□

## 7. LA PREUVE DU THÉORÈME 5.1.

**7.0.1. Construction et définition de la restriction.** La définition que l'on peut donner nécessite de prendre en considération l'incidence de  $Y$  avec le lieu singulier de  $Z$ . Le cas le plus emblématique est bien entendu celui où  $Y$  est contenu dans le lieu singulier; le cas où  $Y$  est en dehors du lieu singulier de  $Z$  ne présente aucune difficulté et a déjà été traité, en grande partie, dans la Proposition 5.3 et la Proposition 6.1 .

Soit  $Z$  un espace analytique réduit et  $Y$  un sous espace réduit de  $Z$  et

$$\begin{array}{ccc} Y' & \xrightarrow{i'} & Z' \\ \pi' \downarrow & & \downarrow \pi \\ Y & \xrightarrow{i} & Z \end{array}$$

un diagramme commutatif dans lequel  $Z'$  est une variété lisse,  $\pi$  un morphisme localement kählérien,  $i$  et  $i'$  des plongements. Soit  $\omega$  une forme de Kähler relative. Alors, on pose, pour toute section  $\xi$  du faisceau  $\mathcal{L}_Z^q$ ,

$$\mathcal{R}_{Z,Y}^{\pi,\omega}(\xi) := \pi'_*(\pi^*(\xi)|_{Y'} \wedge \omega^k|_{Y'})$$

avec  $k = 0$  si  $\pi'$  est une modification propre et  $k = n$  si  $\pi'$  est propre génériquement  $n$ -équidimensionnel.

En anticipant un peu sur l'exposé, on ne va considérer que les morphismes de désingularisations car, comme nous le verrons, la construction est indépendante du morphisme localement kählérien choisi. Ces deux expressions correspondent aux cas de figure suivants:

### (a) $Y$ non entièrement contenu dans le lieu singulier de $Z$ .

Considérons le diagramme commutatif suivant

$$\begin{array}{ccccc} & & i' & & \\ & & \curvearrowright & & \\ Y' & \xrightarrow{i'} & Z' \times_Z Y & \xrightarrow{p_1} & Z' \\ & \searrow \pi' & \downarrow p_2 & & \downarrow \pi \\ & & Y & \xrightarrow{i} & Z \end{array}$$

dans lequel  $\pi$  est un morphisme de désingularisation,  $p_1$  (resp.  $p_2$ ) sont les projections canoniques,  $Y'$  est la préimage stricte décrite par l'adhérence de  $p_2^{-1}(Y \setminus \text{Sing}(Z) \cap Y)$  dans le produit fibré.

Il est bien connu que le morphisme  $\pi'$ , induit par la projection  $p_2$ , est une modification propre. Dans ce cas, si  $\xi$  est une section du faisceau  $\mathcal{L}_Z^q$ ,

$$\mathcal{R}_{Z,Y}^{\pi}(\xi) := \pi'_*(i'^*(\pi^*(\xi)))$$

Comme  $Y$  n'est pas entièrement contenu dans  $\text{Sing}(Z)$ ,  $Y_0 := Y \cap \text{Reg}(Z)$  est un ouvert dense de  $Y$ , la forme holomorphe  $i'^*(\pi^*(\xi))$  n'est ni triviale ni de torsion sur  $Y'$ . Dans ce cas, le courant de type  $(q, 0)$  et  $\bar{\partial}$ -fermé  $\mathcal{R}_{Z,Y}^{\pi}(\xi)$  définit une section du faisceau  $\mathcal{L}_Y^q := \pi'_*\mathcal{L}_{Y'}^q$ , non triviale puisque l'on sait, d'après la Proposition 5.3 appliquée à  $\text{Reg}(Z)$  et  $Y_0$ , que la  $q$ -forme holomorphe  $\mathcal{R}_{\text{Reg}(Z),Y_0}^{\pi}(\xi|_{\text{Reg}(Z)})$ , qui n'est rien d'autre que la restriction

de la forme holomorphe  $\xi|_{\text{Reg}(Z)}$  à  $Y_0$ , est non triviale. Enfin, la [Proposition 6.1](#) montre qu'au niveau des formes holomorphes cette opération coïncide avec la restriction usuelle c'est-à-dire que  $\mathcal{R}_{Z,Y}^\pi(\xi)$  s'identifie à la restriction de la forme holomorphe  $\xi$  à  $Y$ . Ces remarques suffisent à construire le diagramme commutatif naturel reliant la restriction usuelle sur les formes holomorphes et ces formes méromorphes.

**(b)  $Y$  est contenu dans le lieu singulier de  $Z$ .**

La stratégie consiste à trouver un ouvert dense  $Y_0$  dans  $Y$  sur lequel  $\pi'$  est géométriquement plat pour pouvoir appliquer le théorème d'intégration sur les fibres de [\[K0\]](#) garantissant l'existence d'un morphisme  $\mathbb{R}^n \pi'_* \Omega_{Y_0}^{n+q} \rightarrow \mathcal{L}_{Y_0}^q$ . On constate ensuite que les sections obtenues génériquement sur  $Y$  se prolongent en sections globales du faisceau  $\mathcal{L}_Y^q$ .

Soit  $\pi : Z' \rightarrow Z$  un morphisme localement kählérien et surjectif d'une variété analytique complexe  $Z'$  sur  $Z$ . Soit  $Y$  un sous espace réduit de  $Z$  et  $Y' := \pi^{-1}(Y)$  sa préimage totale. On note  $\pi'$  la restriction de  $\pi$  à  $Y'$  et  $n := \dim Y' - \dim Y$ , la dimension générique des fibres de ce morphisme. Soit  $\omega$  une forme de Kähler relative au morphisme  $\pi'$  telle que

$$\int_{Y'/Y} \omega^n := \int_{\pi^{-1}(y)} \omega^n = 1, \forall y \in Y.$$

Alors, pour tout entier  $q$  et tout ouvert  $U$  de Stein dans  $Z$ , on définit un morphisme

$$\mathcal{R}_{Z,Y}^{\pi,\omega} : \Gamma(U, \mathcal{L}_Z^q) \rightarrow \Gamma(U \cap Y, \mathcal{L}_Y^q)$$

en posant

$$\mathcal{R}_{Z,Y}^{\pi,\omega}(\xi) := \int_{Y'/Y} \pi^*(\xi)|_{Y'} \wedge \omega^n|_{Y'}$$

dépendant, a priori, du morphisme  $\pi$  et de la forme de Kähler  $\omega$ .

On peut se convaincre facilement que l'on peut supposer  $\pi'$  géométriquement plat sans enfreindre la généralité. En effet, il est clair que l'on peut supposer  $Y'$  irréductible (on peut d'ailleurs utiliser un théorème du type Bertini (cf [\[Ve\]](#), [\[F2\]](#)) pour nous ramener au cas où  $Y'$  est lisse). Le morphisme  $\pi'$  étant propre et  $Y'$  irréductible, le théorème de Cartan-Remmert sur la semi continuité de la dimension des fibres d'un morphisme propre ([\[Fi\]](#), p.140) garantit la son  $n$ -équidimensionnalité en dehors d'un fermé  $Y_0$  de codimension au moins deux dans  $Y$ . Comme le courant  $\mathcal{R}_{Z,Y}^{\pi,\omega}(\xi)$  de type  $(q, 0)$   $\bar{\partial}$ -fermé est sans torsion puisque non trivial sur la partie régulière du morphisme  $\pi'$  (cf [Proposition 6.1](#)), il définit une unique section du faisceau  $\omega_Y^q$ . Or, ce dernier étant de profondeur au moins deux, on peut supposer  $\pi'$   $n$ -équidimensionnel. Enfin, comme les faisceaux  $\mathcal{L}_Y^q$  sont invariants par modification propre, on peut supposer  $Y$  normal (après avoir effectué le changement de base par la normalisation). Mais, un morphisme équidimensionnel sur une base normale est géométriquement plat. D'où la réduction annoncée.

Sous cette hypothèse, on déduit du Corollaire ??, que le morphisme

$$\mathbb{R}^n \pi'_* \Omega_{Y'}^{n+q} \rightarrow \mathcal{L}_Y^q$$

est naturellement déduit de l'intégration de classes de cohomologie (cf [\[K0\]](#))

$$H^n(Y', \Omega_{Y'}^{n+q}) \rightarrow \Gamma(Y, \mathcal{L}_Y^q)$$

Comme  $\pi^*(\xi)|_{Y'} \wedge \omega^n|_{Y'}$  représente naturellement une classe de cohomologie  $H^n(Y', \Omega_{Y'}^{n+q})$ , on voit que cette image directe de courants s'interprète en termes d'intégration de classes de cohomologie le long des fibres du morphisme géométriquement plat  $\pi'$ .

Comme nous le montre la [Proposition 6.1](#), ce procédé fournit bien des section du faisceau  $\mathcal{L}_Y^q$ .

**3.4.2. Propriétés d'invariance de cette définition.**

**(a) l'indépendance de la construction vis-à-vis de la forme de Kähler choisie.**

Soit

$$\begin{array}{ccc} Y' & \xrightarrow{i'} & Z' \\ \pi' \downarrow & & \downarrow \pi \\ Y & \xrightarrow{i} & Z \end{array}$$

le diagramme commutatif (qui est un carré cartésien) dans lequel  $i$  et  $i'$  sont les inclusions naturelles.

Considérons deux formes de Kähler relatives  $\omega_1$  et  $\omega_2$  vérifiant:  $\int_{Y'/Y} \omega_1^n = \int_{Y'/Y} \omega_2^n = 1$  (rappelons que cela s'écrit aussi  $\int_{\pi^{-1}(y)} \omega_1^n = \int_{\pi^{-1}(y)} \omega_2^n = 1 \forall y \in Y$ ), alors

$$[\omega_1]^n = [\omega_2]^n$$

En effet, le théorème de Lelong ([?]) et le lemme du découpage permettent de supposer  $\pi'$  lisse et  $S$  connexe. De plus, la réduction de Stein nous ramène au cas d'un morphisme à fibres connexes. Ainsi, on peut supposer le morphisme  $\pi'$  lisse et à fibres connexes sur une base  $S$  normale et connexe. Dans ce cas, les faisceaux  $\mathbb{R}^{2n}\pi'_*\mathbb{C}$  et  $\mathbb{R}^n\pi'_*\Omega_{Y'/Y}^n$  sont respectivement localement constant et localement libre de rang 1 sur  $Y$ , de plus on a les isomorphismes canoniques, définis par intégration

$$\begin{aligned} \mathbb{R}^{2n}\pi'_*\mathbb{C} &\simeq \mathbb{C} \\ \mathbb{R}^n\pi'_*\Omega_{Y'/Y}^n &\simeq \mathcal{O}_Y, \end{aligned}$$

Par conséquent, pour tout point  $y_0$  fixé de  $Y$ , tout voisinage ouvert,  $V$ , de  $\pi'^{-1}(y_0)$  (que l'on peut choisir  $n$ -complet d'après [B4]) et toute forme  $Y$ -relative,  $\alpha$ ,  $\bar{\partial}$ -fermée de type  $(n, n)$  sur  $V$ , il existe une fonction holomorphe  $f(y)$  définie sur un voisinage ouvert de  $y_0$  dans  $Y$  et  $\beta$  une  $(n, n-1)$  forme relative telle que

$$f(y).\omega_1^n - \alpha = \bar{\partial}\beta.$$

Choisissons  $\alpha = \omega_2^n$  et  $f$  telle que  $f(y_0) = 1$ , ce qui est possible puisque  $\int_{Y'/Y} \omega_1^n = \int_{Y'/Y} \omega_2^n = 1$  et donc  $(\omega_1^n - \omega_2^n) | \pi^{-1}(y)$  est  $\bar{\partial}$  exacte pour tout point  $y$  de  $Y$ . Alors, si  $r$  est la dimension de  $Y$ , on a, pour toute forme  $C^\infty$  de type  $(r-q, r)$  sur  $Y$ ,  $\varphi$ ,

$$\int_{Y'} \pi^*(\xi) \wedge \omega_2^n \wedge \pi'^*(\varphi) = \int_{Y'} \pi^*(\xi) \wedge \{f(y)\omega_1^n - \bar{\partial}\beta\} \wedge \pi'^*(\varphi)$$

Mais pour des raisons de  $\bar{\partial}$ -fermeture et de type, on a

$$\int_{Y'} \pi^*(\xi) \wedge \bar{\partial}\beta \wedge \pi'^*(\varphi) = \int_{Y'} \bar{\partial}\{\pi^*(\xi) \wedge \beta \wedge \pi'^*(\varphi)\} = \int_{Y'} d\{\pi^*(\xi) \wedge \beta \wedge \pi'^*(\varphi)\} = 0$$

Et donc

$$\int_{Y'} \pi^*(\xi) \wedge \omega_2^n \wedge \pi'^*(\varphi) = \int_{Y'} \pi^*(\xi) \wedge f(y)\omega_1^n \wedge \pi'^*(\varphi)$$

ou

$$\pi'_*(\pi^*(\xi) |_{Y'} \wedge \omega_2^n |_{Y'}) = \pi'_*(\pi^*(\xi) |_{Y'} \wedge f(y)\omega_1^n |_{Y'})$$

Mais pour  $\xi$  forme holomorphe, cette relation devient (cf Proposition 6.1) en raison de la normalisation choisie pour les formes de Kähler

$$i^*(\xi) = f(y)i^*(\xi)$$

D'où  $f(y) = 1, \forall y \in Y$  et donc

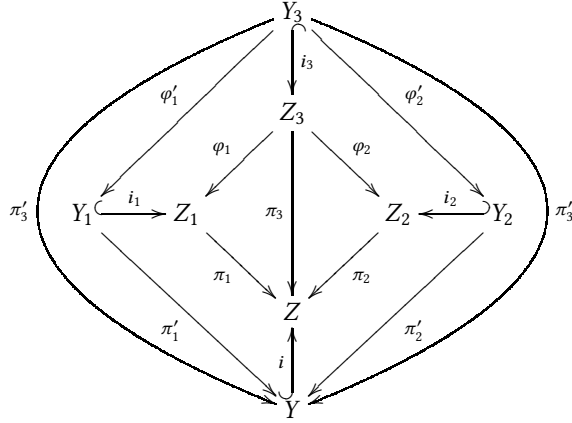
$$\mathcal{R}_{Z,Y}^{\pi,\omega_1} = \mathcal{R}_{Z,Y}^{\pi,\omega_2}$$

**(b) l'indépendance vis-à-vis du morphisme choisi.**

Soient  $\pi_1 : Z_1 \rightarrow Z$  (resp.  $\pi_2 : Z_2 \rightarrow Z$ ) un morphisme kählérien (resp. localement kählérien) avec  $Z_1$  (resp.  $Z_2$ ) variété analytique complexe connexe et  $\omega_1$  (resp.  $\omega_2$ ) une forme de Kähler relative au morphisme  $\pi_1$  (resp.  $\pi_2$ ). On notera  $Y_1 := \pi_1^{-1}(Y)$  (resp.  $Y_2 := \pi_2^{-1}(Y)$ ) la préimage totale de  $Y$  relativement à  $\pi_1$  (resp.  $\pi_2$ ). On veut montrer l'égalité

$$\mathcal{R}_{Z_1, Y_1}^{\pi_1, \omega_1} = \mathcal{R}_{Z_2, Y_2}^{\pi_2, \omega_2}$$

Pour cela, on remarque que la catégorie des morphismes kählériens (resp. localement kählériens) possèdent les propriétés requises pour établir cette invariance puisque cette notion est stable par changement de base arbitraire, par composition et qu'une classe importante de tels morphismes est donnée par les projectifs (resp. localement projectifs) et, donc, en particulier par les modifications propres (cf [Bing]). Ces propriétés nous permettent de construire, à partir de deux  $Z$ -morphisms un troisième  $Z$ -morphisme dans cette catégorie puisqu'il nous suffit de considérer la désingularisée de l'espace réduit sous jacent au produit fibré  $Z_1 \times_Z Z_2$ . On obtient, alors, un diagramme commutatif



dans lequel tous les morphismes du carré intérieur sont localement kählériens,  $Y_3$  est naturellement construit à partir de l'espace réduit sous jacent au produit fibré  $Y_1 \times_Y Y_2$ ,  $\varphi'_1$  (resp.  $\varphi'_2$ ) a même dimension générique que  $\pi'_2$  (resp.  $\pi'_1$ ). On note  $n_1$  (resp.  $n_2$ ) la dimension générique relative de  $\pi'_1$  (resp.  $\pi'_2$ ).

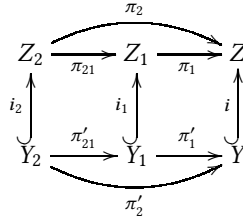
Notre but est de montrer l'égalité au sens des courants

$$\pi'_{1*}(\pi_1^*(\xi) \wedge \omega_1^{n_1}|_{Y_1}) = \pi'_{2*}(\pi_2^*(\xi) \wedge \omega_2^{n_2}|_{Y_2})$$

qui, grâce à la commutativité du diagramme ci-dessus, revient à montrer

$$\pi'_{1*}(\pi_1^*(\xi) \wedge \omega_1^{n_1}|_{Y_1}) = \pi'_{3*}(\pi_3^*(\xi) \wedge \omega_3^{n_3}|_{Y_3}), \quad n_3 = n_1 + n_2$$

On se ramène ainsi à un diagramme du type



pour lequel, on va montrer l'égalité au sens des courants

$$\pi'_{1*}(\pi_1^*(\xi) \wedge \omega_1^{n_1}|_{Y_1}) = \pi'_{2*}(\pi_2^*(\xi) \wedge \omega_2^{n_2}|_{Y_2})$$

Or, on a

$$\pi'_{2*}(\pi_2^*(\xi) \wedge \omega_2^{n_2}|_{Y_2}) = \pi'_{1*}\pi'_{21*}(\pi'_{21}^*(\pi_1^*(\xi)|_{Y_1}) \wedge \omega_2^{n_2}|_{Y_2}) = \pi'_{1*}(\pi_1^*(\xi)|_{Y_1}) \wedge \pi'_{21*}(\omega_2^{n_2}|_{Y_2})$$

D'après **(a)**, la construction étant indépendante de la forme de Kähler choisie, on peut donc prendre  $\omega_2$  telle qu'au niveau des classes de Kähler on ait  $\omega_2^{n_2} = \pi_{21}^*(\omega_1^{n_1}) \wedge \omega_{21}^{n_{21}}$ ,  $\omega_{21}$  une forme de Kähler relative au morphisme  $\pi_{21}$ . Dans ce cas, grâce à la normalisation usuelle  $\pi_{21*}(\omega_{21}^{n_{21}}) = 1$ , on aboutit à l'égalité désirée<sup>4</sup>.

On peut remarquer que, comme on peut supposer tous les morphismes du carré extérieur du diagramme précédent géométriquement plats, le théorème de Varouchas (cf [Va]) garantissant que l'image directe par un morphisme géométriquement plat d'une forme de Kähler est encore une forme de Kähler montre que le courant  $\varphi_{1*}'(\omega_3^{n_3}|_{Y_3})$  est la puissance  $n_1$ -ème d'une forme de Kähler. Cette invariance vis-à-vis du morphisme choisi permet de prendre pour morphisme  $\pi$  tout morphisme de désingularisation ce que l'on supposera par la suite.

### 3.4.3. Propriétés fonctorielles de cette restriction.

#### (i) Compatibilité avec le cas lisse et avec la restriction usuelle sur les formes holomorphes.

C'est l'objet de la [Proposition 5.3](#) et de la [Proposition 6.1](#).

#### (ii) Formule de transitivité.

Il est clair, d'après la construction générale, que le cas fondamental est celui où  $T'$  est contenu dans le lieu singulier de  $T$  et  $T$  contenu dans le lieu singulier de  $Z$ . Notre problème étant de nature local, on peut supposer  $Z, T$  et  $T'$  des ouverts de Stein et  $\Sigma$  irréductible.

Il importe de regarder l'incidence de  $T$  et du lieu singulier  $\text{Sing}(Z)$  de  $Z$  que l'on classe selon le schéma:

#### Cas 1: $T$ est contenu dans la partie régulière de $Z$ .

On se ramène aux restrictions usuelles des formes holomorphes comme expliqué dans la [Proposition 5.3](#).

#### Cas 2: $T$ n'est pas entièrement contenu dans $\text{Sing}(Z)$ et $T' := T \cap \text{Sing}(Z)$ .

On considère le diagramme

$$\begin{array}{ccccc} \Sigma' & \xrightarrow{\sigma'} & \Sigma & \xrightarrow{\sigma} & \tilde{Z} \\ \pi' \downarrow & & \downarrow \pi & & \downarrow \varphi \\ T' & \xrightarrow{i'} & T & \xrightarrow{i} & Z \end{array} \quad (\star)$$

avec  $\pi$  modification propre,  $\Sigma$  (resp.  $\Sigma'$ ) la préimage stricte (resp. totale) de  $T$  (resp.  $T'$ ). A noter que l'on peut se ramener au cas où  $\Sigma$  est lisse (quitte à le désingulariser) avec  $\sigma$  et  $\sigma'$  des modifications propres.

Alors,

$$\mathcal{R}_{Z,T}(\xi) := \xi_T := \pi_*(\varphi^*(\xi)|_{\Sigma})$$

$$\mathcal{R}_{Z,T'}(\xi) := \xi_{T'} := \pi'_*(\varphi^*(\xi)|_{\Sigma'} \wedge \omega^n|_{\Sigma'})$$

$$\mathcal{R}_{T,T'}(\xi_T) := \xi_{T,T'} := \pi'_*(\pi^*(\xi_T)|_{\Sigma'} \wedge \omega^n|_{\Sigma'})$$

La relation de transitivité que l'on cherche à établir est

$$\mathcal{R}_{Z,T'} = \mathcal{R}_{T,T'} \circ \mathcal{R}_{Z,T}$$

Comme  $\Sigma \setminus \Sigma' \simeq T \setminus T'$  et  $\tilde{Z} \setminus E \simeq Z \setminus \text{Sing}(Z)$ , la forme holomorphe  $\varphi^*(\xi)|_{\Sigma}$  définit, par construction, une section du faisceau  $\Omega_{\Sigma}^q/\text{Tors}$  (puisque non triviale sur un ouvert dense). Cela nous permet de supposer  $\Omega_{\Sigma}^q$  sans torsion et, donc, le voir comme un sous faisceau de

<sup>4</sup>A noter que, relativement au grand diagramme initial, la forme  $\omega_3$  peut être définie au moyen de  $\varphi_1^*(\omega_1)$  et  $\varphi_2^*(\omega_2)$  par construction de  $Z_3$ .

$\mathcal{L}_T^q$ . De toute évidence,  $\xi_T$  est une section du faisceau  $\pi_*(\Omega_\Sigma^q)$ . La factorisation naturelle ( $\mathcal{T}'$  étant le sous faisceau de torsion)

$$0 \longrightarrow \mathcal{T} \longrightarrow \pi^*(\pi_*(\Omega_\Sigma^q)) \longrightarrow \pi^*(\pi_*(\Omega_\Sigma^q))/\mathcal{T} \longrightarrow 0$$

$$\searrow \quad \downarrow$$

$$\Omega_\Sigma^q$$

montre que  $\pi^*(\xi_T)$  ne peut pas être de torsion dans  $\pi^*(\pi_*(\Omega_\Sigma^q))$  car sinon son image dans  $\Omega_\Sigma^q$  serait trivialement nulle! Pour terminer avec les remarques évidentes, notons que l'on a les isomorphismes

$$\pi_*\pi^*(\pi_*(\Omega_\Sigma^q)) \simeq \pi_*(\Omega_\Sigma^q), \quad \pi_*\pi^*(\mathcal{L}_T^q) \simeq \mathcal{L}_T^q$$

puisque, par exemple, la factorisation (analogue de celle ci-dessus)

$$0 \longrightarrow \mathcal{T} \longrightarrow \pi^*\pi_*(\mathcal{L}_\Sigma^q) \longrightarrow \pi^*\pi_*(\mathcal{L}_\Sigma^q)/\mathcal{T} \longrightarrow 0$$

$$\searrow \quad \downarrow$$

$$u \quad \mathcal{L}_\Sigma^q$$

montre que  $\text{Ker } u = \mathcal{T}$  et, par conséquent, le morphisme induit

$$\pi_*\pi^*(\mathcal{L}_T^q) \rightarrow \mathcal{L}_T^q$$

est injectif. Or, on a déjà un morphisme naturel

$$\mathcal{L}_T^q \rightarrow \pi_*\pi^*(\mathcal{L}_T^q)$$

nécessairement injectif puisque c'est un isomorphisme générique et  $\mathcal{L}_T^q$  est sans torsion. D'où l'isomorphisme

$$\pi_*\pi^*(\mathcal{L}_T^q) \simeq \mathcal{L}_T^q$$

On montre de la même façon le premier isomorphisme.

Ceci étant dit, on peut écrire  $\pi^*(\xi_T) = (\varphi^*(\xi))|_\Sigma + \chi$  où  $\chi$  une  $q$ -forme holomorphe à support dans  $\Sigma'$ , sans torsion sur  $\Sigma'$  (et qui rencontre le diviseur exceptionnel).

Alors, si  $\Sigma'_0$  est le lieu régulier de  $\pi'$  et quitte à rétrécir  $T'_0$ , on peut supposer  $\Sigma'_0 \simeq T'_0 \times V$ . Dans ce cas, le théorème d'intégration de Lelong nous donne

$$\int_{\Sigma'} \psi \wedge \chi \wedge \omega^n|_{\Sigma'} = \int_{\Sigma'_0} \pi'^*(\psi) \wedge \chi \wedge \omega^n|_{\Sigma'_0}$$

pour une fonction test  $\psi$  de type  $(r-q, r)$  sur  $T'$ . Mais cela montre clairement que  $\chi \wedge \omega^n|_{\Sigma'_0}$  est non triviale si et seulement si  $\chi$  s'exprime qu'en fonction des coordonnées de  $T'$  c'est-à-dire qu'il existe,  $\chi'_0$ , une  $q$ -forme holomorphe sur  $T'_0$  telle que  $\chi = \pi'^*(\chi'_0)$ . En considérant une extension,  $\chi'$ , quelconque de  $\chi'_0$  à  $T'$ , on obtient la relation

$$\pi^*(\xi_T)|_{\Sigma'_0} = (\varphi^*(\xi))|_{\Sigma'_0} + \pi'^*(\chi')|_{\Sigma'_0}$$

En supposant, les faisceaux de formes holomorphes  $\Omega_{\Sigma'}^\bullet$  et  $\Omega_{T'}^\bullet$ , sans torsion, cette relation ayant lieu sur la partie dense  $\Sigma'_0$  s'étend par absence de torsion à  $\Sigma'$  tout entier. Ainsi,

$$\pi^*(\xi_T)|_{\Sigma'} = (\varphi^*(\xi))|_{\Sigma'} + \pi'^*(\chi')$$

qui s'écrit aussi, pour une extension  $\chi''$  de  $\chi'$  à  $T$ ,

$$\pi^*(\xi_T)|_{\Sigma'} = (\varphi^*(\xi))|_{\Sigma'} + \pi^*(\chi'')$$

et, donc,

$$(\pi^*(\xi_T - \chi'') - \varphi^*(\xi))|_{\Sigma'} = 0$$

Mais comme cette relation est vérifiée sur  $\Sigma \setminus \Sigma'$ , on en déduit

$$\pi^*(\xi_T - \chi'') = \varphi^*(\xi)|_\Sigma$$

ou de façon équivalente (on peut supposer  $T$  normal mais ce n'est pas nécessaire)

$$\xi_T - \chi'' = \pi_*(\varphi^*(\xi))|_\Sigma := \xi_T$$

qui donne  $\chi'' = 0$  et, par suite,

$$\chi = 0$$

D'où la relation

$$\pi^*(\xi_T) = \varphi^*(\xi)|_\Sigma$$

et donc

$$\xi_{T'} = \xi_{T,T'}$$

qui n'est autre que la relation de transitivité désirée.

**Cas 3:  $T$  contenu dans  $\text{Sing}(Z)$ .**

On considère une désingularisation (ou tout autre modification propre)  $\varphi : \tilde{Z} \rightarrow Z$  (resp.  $\nu : \tilde{T} \rightarrow T$ ) de  $Z$  (resp.  $T$ ) et le diagramme

$$\begin{array}{ccccccc}
 \tilde{\Sigma}' & \xrightarrow{\tilde{\sigma}} & \tilde{\Sigma} & & & & \\
 \downarrow \tilde{\pi}' & \searrow \Theta' & \downarrow \tilde{\pi} & \searrow \Theta & & & \\
 \Sigma' & \xrightarrow{\sigma'} & \Sigma & \xrightarrow{\sigma} & \tilde{Z} & & \\
 \downarrow \pi' & \downarrow \pi & \downarrow \pi & \downarrow \pi & \downarrow \varphi & & \\
 \tilde{T}' & \xrightarrow{\tilde{\pi}'} & \tilde{T} & & & & \\
 \downarrow \nu' & \downarrow \nu & \downarrow \nu & & & & \\
 T' & \xrightarrow{i'} & T & \xrightarrow{i} & Z & & \bullet
 \end{array}$$

dans lequel les morphismes horizontaux sont des immersions fermées,  $\Sigma$  (resp.  $\Sigma'$ ) la préimage totale de  $T$  (resp.  $T'$ ) pour la modification  $\varphi$  et  $\tilde{T}'$  celle de  $T'$  pour  $\nu$ .

Les morphismes étant localement kählérien, on considère des formes de Kähler  $\omega$ ,  $\tilde{\omega}$  et  $\hat{\omega}$  relative aux morphismes  $\varphi$ ,  $\nu$  et  $\pi$  respectivement. Alors, comme tous les morphismes de ces diagrammes sont propres, les images directes au sens des courants

$$\mathcal{R}_{Z,T}(\xi) := \xi_T := \pi_*(\varphi^*(\xi)|_\Sigma \wedge \omega^n|_\Sigma)$$

$$\mathcal{R}_{Z,T'}(\xi) := \xi_{T'} := \pi'_*(\varphi^*(\xi)|_{\Sigma'} \wedge \omega^n|_{\Sigma'})$$

$$\mathcal{R}_{T,T'}(\xi_T) := \xi_{T,T'} := \nu'_*(\nu^*(\xi_T)|_{\tilde{T}'} \wedge \tilde{\omega}^m|_{\tilde{T}'})$$

$$\tilde{\xi}_{T,T'} := \pi'_*(\pi^*(\xi_T)|_{\Sigma'} \wedge \omega^n|_{\Sigma'})$$

définissent des courants de type  $(q, 0)$ ,  $\bar{\partial}$ -fermés induisant, modulo torsion, des sections des faisceaux  $\omega_T^q$  et  $\omega_{T'}^q$ . Avec ces notations, la formule de transitivité recherchée se traduit par les égalités

$$\mathcal{R}_{Z,T'} = \mathcal{R}_{T,T'} \circ \mathcal{R}_{Z,T}$$

On a aussi

$$\xi_{T,T'} = \tilde{\xi}_{T,T'}$$

Pour les prouver, on commence par traiter le cas où:

**(a)  $\pi : \Sigma \rightarrow T$  et  $\nu' : \tilde{T}' \rightarrow \tilde{T}$  géométriquement plats à fibres de dimension  $n$  et  $m$  respectivement.**

La notion de platitude géométrique étant stable par changement de base, les morphismes verticaux  $\pi'$ ,  $\tilde{\pi}$ ,  $\tilde{\pi}'$  sont géométriquement plats à fibres de même dimension  $n$  puisque  $\pi$ . Il en est de même de  $\Theta'$  en raison de la platitude géométrique de  $\nu$ . Dans ce contexte, les

images directes définies au sens des courants coincident avec l'intégration sur les fibres, opérations dont la formation commute aux changements de base.

Comme le diagramme précédent est commutatif et que  $\pi'$  se déduit de  $\pi$  dans le changement de base  $T' \rightarrow T$  (par définition  $\Sigma' = T' \times_Z \tilde{Z} = T' \times_T \Sigma$  et  $\Sigma' = T \times_Z \tilde{Z}$ ), on a, pour toute forme  $\alpha$  sur  $\Sigma$ :

$$i'^*(\int_{\Sigma/T} (\alpha \wedge \omega^n |_{\Sigma})) = \int_{\Sigma'/T'} \sigma'^*(\alpha \wedge \omega^n |_{\Sigma}) = \int_{\Sigma'/T'} (\alpha \wedge \omega^n) |_{\Sigma'}$$

qui, pour  $\alpha := \varphi^*(\xi) |_{\Sigma}$ , s'écrit aussi

$$i'^*(\xi_T) = \pi'_*(\varphi^*(\xi) |_{\Sigma'} \wedge \omega^n |_{\Sigma'}) = \xi_{T'} := \mathcal{R}_{Z,T'}(\xi)$$

c'est-à-dire  $i'^* \circ \mathcal{R}_{Z,T} = \mathcal{R}_{Z,T'}$ . En fait, dans ce contexte, on a  $i'^* = \mathcal{R}_{T,T'}$  qui est essentiellement dû à la propriété de commutation aux changements de base arbitraires de l'intégration sur une famille analytique de cycles. En effet, pour montrer l'égalité

$$\pi'_*(\varphi^*(\xi)|_{\Sigma'} \wedge \omega^n |_{\Sigma'}) = v'_*(v'^*(\xi_T)|_{\tilde{T}'} \wedge \tilde{\omega}^m |_{\tilde{T}'})$$

on utilise cette propriété pour écrire

$$\begin{aligned} v'^*(\xi_T) &:= v'^*(\int_{\Sigma/T} (\varphi^*(\xi) \wedge \omega^n) |_{\Sigma}) = \int_{\tilde{\Sigma}/\tilde{T}} \Theta^*((\varphi^*(\xi) \wedge \omega^n) |_{\Sigma}) \\ v'^*(\xi_T)|_{\tilde{T}'} &:= \int_{\tilde{\Sigma}'/\tilde{T}'} \Theta'^*((\varphi^*(\xi) \wedge \omega^n) |_{\Sigma'}) \end{aligned}$$

ou

$$\begin{aligned} v'^*(\xi_T) &= v'^*(\pi_*(\varphi^*(\xi) |_{\Sigma} \wedge \omega^n |_{\Sigma})) = \tilde{\pi}_*(\Theta^*((\varphi^*(\xi) |_{\Sigma} \wedge \omega^n |_{\Sigma})) \\ v'^*(\xi_T)|_{\tilde{T}'} &= \tilde{\pi}'_*((\Theta^*((\varphi^*(\xi) |_{\Sigma} \wedge \omega^n |_{\Sigma}))|_{\tilde{\Sigma}'}) = \tilde{\pi}'_*(\Theta'^*((\varphi^*(\xi) |_{\Sigma'} \wedge \omega^n |_{\Sigma'}))) \end{aligned}$$

Alors, la formule de projection pour un morphisme propre permet d'écrire

$$\begin{aligned} v'_*(v'^*(\xi_T)|_{\tilde{T}'} \wedge \tilde{\omega}^m |_{\tilde{T}'}) &= v'_*(\tilde{\pi}'_*(\Theta'^*((\varphi^*(\xi) |_{\Sigma'} \wedge \omega^n |_{\Sigma'})) \wedge \tilde{\omega}^m |_{\tilde{T}'})) \\ &= \pi'_*\Theta'_*\{\Theta'^*((\varphi^*(\xi) |_{\Sigma'} \wedge \omega^n |_{\Sigma'})) \wedge \tilde{\pi}'^*(\tilde{\omega}^m |_{\tilde{T}'})\} = \pi'_*\{(\varphi^*(\xi) |_{\Sigma'} \wedge \omega^n |_{\Sigma'}) \wedge \Theta'_*(\tilde{\pi}'^*(\tilde{\omega}^m |_{\tilde{T}'}))\} \end{aligned}$$

La formule du changement de base pour l'intégration le long des fibres de  $\Theta'$  nous donne

$$\Theta'_*\tilde{\pi}'^*(\tilde{\omega}^m |_{\tilde{T}'}) = \pi'^*(v'_*\tilde{\omega}^m |_{\tilde{T}'})$$

et donc, en vertu de la formule de projection,

$$v'_*(v'^*(\xi_T)|_{\tilde{T}'} \wedge \tilde{\omega}^m |_{\tilde{T}'}) = \pi'_*((\varphi^*(\xi) |_{\Sigma'} \wedge \omega^n |_{\Sigma'}) \wedge v'_*\tilde{\omega}^m |_{\tilde{T}'})$$

Alors, en normalisant comme de coutume la forme de Kähler par  $v'_*(\tilde{\omega}^m |_{\tilde{T}'}) = 1$ , on obtient

$$\mathcal{R}_{T,T'}(\xi_T) = \xi_{T'}$$

qui est exactement la formule de transitivité cherchée.

Comme notre construction de la restriction ne dépend pas de la forme de Kähler choisie, on en déduit la relation de transitivité en toute généralité et

$$i'^*(\xi_T) = \xi_{T'} = \tilde{\xi}_{T,T'}$$

**(b)  $\pi : \Sigma \rightarrow T$  et  $v' : \tilde{T}' \rightarrow \tilde{T}$  propres surjectifs génériquement  $n$  et  $m$ -équidimensionnels respectivement:**

Pour nous ramener au cas géométriquement plat, observons que l'on peut supposer:

- $T'$  est le lieu de non platitude géométrique (resp. de non platitude algébrique) de  $\pi$ :

Comme  $\pi$  est un morphisme propre d'espaces complexes réduits, on peut commencer par le plattifier grâce au théorème de Hironaka ([H1]). Dans le diagramme ( $\clubsuit$ ),  $\nu$  est la modification sur la base  $T$  pour transformer  $\pi$  en le morphisme plat  $\tilde{\pi}$ . Alors, si:

- $T'$  n'est pas contenu dans le lieu de la modification, il sera contenu dans l'ouvert dense du lieu de platitude et, donc, de platitude géométrique. Dans ce cas,  $\tilde{T}'$  est la préimage stricte et  $v'$  est une modification propre. On se retrouve dans la situation du cas (a) où

les morphismes sont géométriquement plats car on peut remplacer  $\pi$  et  $\pi'$  par les morphismes plats (et donc géométriquement plats)  $\tilde{\pi}$  et  $\tilde{\pi}'$  respectivement.

•  $T'$  est contenu dans le lieu de la modification alors  $v'$  est propre génériquement  $m$ -équidimensionnel. Quitte à modifier  $T'$ , on se ramène au cas géométriquement plat et on termine comme dans (a).

De plus, on peut, si on le désire, supposer  $\Sigma := \pi^{-1}(T)$  lisse. En effet, s'il ne l'était pas, on le désingularise grâce au théorème de Hironaka pour obtenir le diagramme commutatif

$$\begin{array}{ccccc}
 \tilde{\Sigma}' & \xrightarrow{\tilde{i}'} & \tilde{\Sigma} & & \\
 \psi' \downarrow & & \psi \downarrow & & \\
 \Sigma' & \xrightarrow{i'} & \Sigma & \xrightarrow{i} & \tilde{Z} \\
 \pi' \downarrow & & \pi \downarrow & & \varphi \downarrow \\
 T' & \xrightarrow{i'} & T & \xrightarrow{i} & Z
 \end{array}$$

Considérons, alors,  $\omega$  et  $\tilde{\omega}$  deux formes de Kähler sur  $\tilde{Z}$  et  $\tilde{\Sigma}$ , relatives aux morphismes  $\varphi$  et  $\pi\psi$ . Comme précédemment, on désigne par  $n$  la dimension générique relative du morphisme  $\pi$ , on pose  $\tilde{\pi}' := \pi' \circ \psi'$  et  $\tilde{\pi} := \pi \circ \psi$ . Comme la construction de notre restriction est indépendante de la classe de Kähler choisie, on peut prendre  $[\tilde{\omega}] = [\psi^*(\sigma^*\omega)]$ . Il est facile de voir que les définitions des formes  $\xi_T$ ,  $\xi_{T'}$  et  $\tilde{\xi}_{T'}$  relatives à cette configuration sont les mêmes que celles données plus haut. En effet, un calcul simple en termes d'images directes au sens des courants (utilisant la formule de projection pour un morphisme propre) montre, par exemple, que

$$\xi_T := \tilde{\pi}_*(\psi^*(\varphi^*(\xi) |_{\Sigma} \wedge \tilde{\omega}^n |_{\tilde{\Sigma}})) = \pi_*(\varphi^*(\xi) |_{\Sigma} \wedge \omega^n |_{\Sigma})$$

puisque

$$\begin{aligned}
 \langle (\pi\psi)_*(\psi^*(\varphi^*(\xi) |_{\Sigma} \wedge \tilde{\omega}^n |_{\tilde{\Sigma}})), \beta \rangle &= \langle \psi^*(\varphi^*(\xi) |_{\Sigma} \wedge \tilde{\omega}^n |_{\tilde{\Sigma}}), \psi^*(\pi^*\beta) \rangle \\
 &= \langle \psi_*[\tilde{\Sigma}], \varphi^*(\xi) |_{\Sigma} \wedge \tilde{\omega}^n |_{\tilde{\Sigma}} \rangle \wedge \pi^*\beta
 \end{aligned}$$

et que  $\psi_*([\tilde{\Sigma}]) = [\Sigma]$ .

Prouvons, enfin, les égalités annoncées en les déduisant du cas géométriquement plat. Signalons que le morphisme  $v$  du diagramme (♣) correspond, maintenant, à une suite finie d'éclatements de centres situés dans  $T'$  réalisant "l'aplatissement géométrique"  $\tilde{\pi}$  du morphisme  $\pi$ . Il s'en suit que  $\tilde{\pi}'$  est aussi géométriquement plat. On peut supposer  $\tilde{T}$  lisse sans enfreindre la généralité.

Alors, d'après le cas (i), on sait que les images directes définies au sens des courants ou par intégration le long des fibres

$$\begin{aligned}
 \xi_{\tilde{T}} &:= \tilde{\pi}_*(\Theta^*(\varphi^*(\xi) |_{\Sigma} \wedge \omega^n |_{\Sigma})) \\
 \xi_{\tilde{T}'} &:= \tilde{\pi}'_*(\Theta^*(\varphi^*(\xi) |_{\Sigma} \wedge \omega^n |_{\Sigma}) |_{\tilde{\Sigma}'}) \\
 \tilde{\xi}_{T,T'} &:= \tilde{\pi}'_*(\tilde{\pi}^*(\xi_{\tilde{T}}) |_{\tilde{\Sigma}'}) \wedge \tilde{\omega}^n |_{\tilde{\Sigma}'}
 \end{aligned}$$

vérifient les égalités  $\xi_{\tilde{T}}|_{\tilde{T}'} = \xi_{\tilde{T}'} = \tilde{\xi}_{T,T'}$  ( $\xi_{\tilde{T}}|_{\tilde{T}'}$  est alors la restriction usuelle des formes holomorphes) traduisant la relation

$$\mathcal{R}_{Z,\tilde{T}'} = \mathcal{R}_{\tilde{T},\tilde{T}'} \circ \mathcal{R}_{Z,\tilde{T}}$$

On veut montrer que cela entraîne l'égalité des formes  $\xi_{T'}$ ,  $\tilde{\xi}_{T,T'}$  et  $\xi_{T,T'}$  définies génériquement par les formules d'intégration ou globalement par image directe au sens des courants. Or cela découle simplement du fait que  $\xi_T := v_*\xi_{\tilde{T}}$  et  $\xi_{T'} := v'_*\xi_{\tilde{T}'}$ , puisque, par exemple,

$$v_*(\xi_{\tilde{T}}) = v_*(\tilde{\pi}_*(\Theta^*(\varphi^*(\xi) |_{\Sigma} \wedge \omega^n |_{\Sigma}))) = \pi_*\Theta_*(\Theta^*(\varphi^*(\xi) |_{\Sigma} \wedge \omega^n |_{\Sigma})) := \xi_T$$

$\Theta$  étant une modification propre ( $\Sigma$  peut-être supposé lisse si on le désire). Si on veut éviter l'hypothèse de lissité (ou de normalité) sur  $\Sigma$ , on utilise la formule de projection

$$\Theta_*(\Theta^*(\varphi^*(\xi)|_\Sigma \wedge \omega^n|_\Sigma)) = \varphi^*(\xi)|_\Sigma \wedge \Theta_*\Theta^*(\omega^n|_\Sigma)$$

et préciser que  $\Theta_*\Theta^*(\omega^n|_\Sigma)$  est encore une forme de Kähler relative pour le morphisme  $\pi$ .

De façon similaire, on a

$$v'_*\tilde{\xi}_{\tilde{T}'} = v'_*\tilde{\pi}'_*(\Theta^*((\varphi^*(\xi)|_{\Sigma'}) \wedge \omega^n|_{\Sigma'})) = \pi'_*(\varphi^*(\xi)|_{\Sigma'} \wedge \Theta_*\omega^n|_{\Sigma'}) = \xi_{T'}$$

On en déduit, alors, que

$$\mathcal{R}_{T,T'}(\xi_T) = \xi_{T'}$$

puisque

$$\mathcal{R}_{T,T'}(\xi_T) = \mathcal{R}_{T,T'}(v_*\xi_{\tilde{T}}) = v'_*((v^*v_*\xi_{\tilde{T}})|_{\tilde{T}'} \wedge \tilde{\omega}^m|_{\tilde{T}'})$$

qui, d'après le théorème d'intégration de Lelong et ce qui précède, donne

$$\mathcal{R}_{T,T'}(\xi_T) = v'_*(\xi_{\tilde{T}})|_{\tilde{T}'} \wedge \tilde{\omega}^m|_{\tilde{T}'} = v'_*(\xi_{\tilde{T}} \wedge \tilde{\omega}^m|_{\tilde{T}'}) = \xi_{\tilde{T}'}$$

en choisissant la normalisation habituelle pour la forme de Kähler.

On peut aussi remarquer que les courants  $\mathcal{R}_{T,T'}(\xi_T)$  et  $\xi_{T'}$  définissent des sections globales du faisceau  $\mathcal{L}_{T'}^q$ . Comme elles coïncident génériquement et que ce faisceau est sans torsion, elles coïncident globalement.

De plus, on a aussi

$$v'_*\tilde{\xi}_{\tilde{T},\tilde{T}'} = \tilde{\xi}_{\tilde{T},T'}$$

En effet, comme (toujours au sens des courants comme il a été fait dans le cas géométriquement plat))

$$\tilde{\xi}_{\tilde{T},\tilde{T}'} = \tilde{\pi}'_*(\tilde{\pi}^*(\xi_{\tilde{T}})|_{\tilde{\Sigma}'} \wedge \hat{\omega}^n|_{\tilde{\Sigma}'}) = \tilde{\pi}'_*(\Theta^*(\varphi^*(\xi))|_{\tilde{\Sigma}'} \wedge \hat{\omega}^n|_{\tilde{\Sigma}'})$$

et donc

$$\tilde{\xi}_{\tilde{T},\tilde{T}'} = \tilde{\pi}'_*(\Theta^*(\varphi^*(\xi))|_{\Sigma'} \wedge \hat{\omega}^n|_{\Sigma'})$$

D'où

$$v'_*\tilde{\xi}_{\tilde{T},\tilde{T}'} = \pi'_*(\varphi^*(\xi)|_{\Sigma'} \wedge \Theta_*\hat{\omega}^n|_{\Sigma'}) = \pi'_*(\pi^*(\xi_T)|_{\Sigma'} \wedge \Theta_*\hat{\omega}^n|_{\Sigma'}) = \xi_{T,T'} \blacksquare$$

## 8. LA PREUVE DU THÉORÈME 0.1.

On veut montrer qu'à tout morphisme d'espaces complexes réduits  $f : Y \rightarrow Z$  est associé un unique morphisme de faisceaux  $\mathbf{f}^* : \mathcal{L}_Z^\bullet \rightarrow f_*\mathcal{L}_Y^\bullet$  prolongeant l'image réciproque des formes usuelles et de construction compatible avec la composition de certains morphismes.

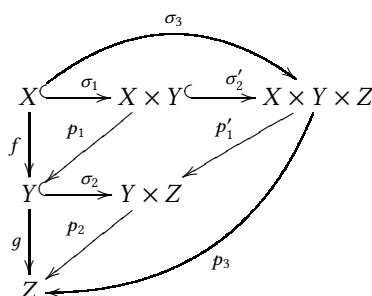
Il est clair que la construction de cette image réciproque qui est de nature locale sur la source et la base se déduit directement du [Théorème 5.1](#) en utilisant les factorisations locales via le graphe

$$\begin{array}{ccc} Y & \xrightarrow{\sigma} & Y \times Z \\ & \searrow f & \downarrow p \\ & & Z \end{array}$$

On peut supposer les espaces irréductibles et les morphismes seront supposés surjectifs.

D'après le [Théorème 5.1](#), on a un morphisme de restriction  $\sigma^* : \mathcal{L}_{Y \times Z}^\bullet \rightarrow \sigma_*\mathcal{L}_Y^\bullet$ . Pour la projection canonique, la construction de l'image réciproque  $\mathbf{p}^* : \mathcal{L}_Y^\bullet \rightarrow p_*\mathcal{L}_{Y \times Z}^\bullet$  est évidente et on vérifie facilement que  $\sigma^* \circ \mathbf{p}^* = \mathbf{f}^*$ .

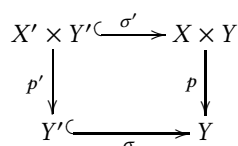
(ii) On se ramène à regarder le diagramme



et vérifier l'égalité

$$\sigma_1^*(p_1^*(\sigma_2^*(p_2^*(\xi)))) = \sigma_3^*(p_3^*(\xi))$$

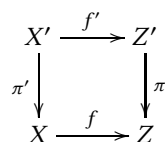
qui résulte facilement du fait que, pour un diagramme cartésien



où  $\sigma$  (resp.  $\sigma'$ ) et  $p$  (resp.  $p'$ ) désignent un plongement fermé et la projection canonique, on a

$$\sigma'^* \circ p^* = p'^* \circ \sigma^* \blacksquare$$

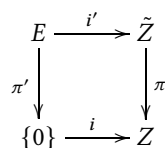
*Remarques 8.1.* Cette image réciproque semble souffrir d'une certaine incompatibilité avec la commutativité des diagrammes dans le sens où si



est un tel diagramme d'espaces complexes réduits, il ne semble pas clair que

$$\pi'^* \circ f^* = f'^* \circ \pi^*$$

La première impression est qu'une telle égalité ne peut avoir lieu que modulo certains noyaux d'opérateurs intégraux. Par exemple si



est l'éclatement en l'origine d'un espace complexe réduit donné de dimension  $m$ , toute forme de degré strictement supérieur à 1 donne trivialement une restriction nulle. Mais, il se peut qu'elle donne par pull back sur  $\tilde{Z}$ , une forme dont la restriction à  $E$  soit non triviale et dont l'intégrale sur  $E$  du cup produit avec la puissance  $m$ -ème de la forme de Kähler relative soit nulle. On voit donc qu'il faut au moins quotienter par le noyau de cette opération d'intégration sur les fibres.

### 9. IMAGE DIRECTE SUPÉRIEURE POUR UN MORPHISME GÉOMÉTRIQUEMENT PLAT ET SES CONSÉQUENCES.

On voudrait associer à tout morphisme  $\pi : X \rightarrow S$  possédant certaines propriétés de bonnes variances, au moins, au niveau des fibres, un morphisme de faisceaux de  $\mathcal{O}_S$ -modules (cohérents si  $\pi$  est propre)

$$\mathcal{T}_{\pi, \mathcal{L}}^k : \mathbb{R}^n \pi_! \mathcal{L}_X^{n+k} \rightarrow \mathcal{L}_S^k$$

compatible aux restrictions ouvertes sur  $X$  et  $S$ , aux changements de base admissibles en un certain sens et aux morphismes  $\mathfrak{T}_{\pi, \omega}^k : \mathbb{R}^n \pi_! \omega_X^{n+k} \rightarrow \omega_S^k$  du *théorème 1* de [K3]. Nous proposons, dans ce qui suit, deux constructions l'une plus géométrique et reposant sur une intégration le long des fibres et l'autre plus conceptuelle découlant de l'existence du morphisme trace défini au niveau des complexes dualisants (cf [K3]).

La première approche consiste à la construire explicitement pour un morphisme géométriquement plat et en déduire, à moindre frais, la construction pour un morphisme propre surjectif arbitraire, puis, grâce aux théorèmes d'aplatissement locaux, le cas d'un morphisme surjectif génériquement ouvert. Pour cela, nous rappelons

**Théorème 9.1. Aplatissement local**[H2]: *Soit  $\pi : X \rightarrow Y$  un morphisme d'espaces analytiques complexes avec  $Y$  réduit. Soit  $y \in Y$  et  $L$  un sous ensemble compact de la fibre  $\pi^{-1}(y)$ . Alors, il existe un nombre fini de morphismes  $\sigma_\alpha : Y_\alpha \rightarrow Y$  chacun d'entre eux composé d'un nombre fini d'éclatement locaux dont les centres sont situés dans des sous ensembles d'intérieur vides et tels que:*

- (i) *Pour chaque  $\alpha$ , il existe un sous ensemble compact  $K_\alpha$  de  $Y_\alpha$  tel que  $\bigcup_\alpha \sigma_\alpha(K_\alpha)$  soit un voisinage compact de  $y$  dans  $Y$ .*
- (ii) *Pour chaque  $\alpha$ , la transformée stricte  $\pi_\alpha : X_\alpha \rightarrow Y_\alpha$  de  $\pi$  par  $\sigma_\alpha$  est plate aux points correspondant aux points de  $L$ .*

**Théorème 9.2. Aplatissement local géométrique**[Si]: *Soient  $\pi : X \rightarrow Y$  un morphisme génériquement ouvert d'espaces analytiques complexes réduits et  $K$  un compact de  $X$ . Alors, il existe un espace complexe normal  $Y'$ , une application holomorphe  $\sigma : Y' \rightarrow Y$  et un voisinage ouvert relativement compact  $V$  de  $K$  tels que:*

- (i) *Si  $X'$  est le sous espace de  $Y' \times_Y V$  constitué des composantes irréductibles sur lesquelles la transformée de  $\pi$  (par  $\sigma$ ) est encore génériquement ouverte sur  $Y'$ , alors, la transformée stricte  $\pi' : X' \rightarrow Y'$  est ouverte et surjective.*
- (ii) *L'application induite  $\sigma' : X' \rightarrow V$  est semi propre et surjective.*
- (iii)  *$\sigma$  est génériquement ouverte et génériquement finie.*

On a le diagramme

$$\begin{array}{ccccc} & & \sigma' & & \\ & & \curvearrowright & & \\ X' & \hookrightarrow & Y' \times_Y V & \twoheadrightarrow & X \\ & \searrow \pi' & \downarrow & & \downarrow \pi \\ & & Y' & \xrightarrow{\sigma} & Y \end{array}$$

A noter que  $\sigma$  n'est ni propre ni même semi propre mais préserve la densité par image inverse. De plus, si  $E$  est le lieu de dégénérescence de  $\pi$  (la réunion des sous ensembles constitué des points en lesquels, les fibres sont de dimension strictement plus grande que  $\dim X - \dim Y$  cf Lemme ??) et  $N(Y)$  le lieu non normal de  $Y$ ,  $Y'$  s'identifie au produit fibré  $Y' \times_Y V$  en dehors de  $\Sigma := \sigma^{-1}(\pi(E \cap V) \cup N(Y))$ ,

$$X' \setminus \pi'^{-1}(\Sigma) \simeq (Y' \setminus \Sigma) \times_Y V$$

avec  $\sigma : Y' \setminus \Sigma \rightarrow Y$  (resp.  $\pi' : X' \setminus \pi'^{-1}(\Sigma) \rightarrow X$ ) ouverte.

On voudrait associer à tout morphisme  $\pi : X \rightarrow S$  possédant certaines propriétés de bonnes variances, au moins, au niveau des fibres, un morphisme de faisceaux de  $\mathcal{O}_S$ -modules (cohérents si  $\pi$  est propre)

$$\mathcal{T}_{\pi, \mathcal{L}}^k : \mathbb{R}^n \pi_! \mathcal{L}_X^{n+k} \rightarrow \mathcal{L}_S^k$$

compatible aux restrictions ouvertes sur  $X$  et  $S$ , aux changements de base admissibles en un certain sens et aux morphismes  $\mathfrak{T}_{\pi, \omega}^k : \mathbb{R}^n \pi_! \omega_X^{n+k} \rightarrow \omega_S^k$  du *théorème 1* de [K3]. Selon, les propriétés demandées à  $\pi$ , on peut proposer différentes constructions.

**9.1. Image directe supérieure pour un morphisme géométriquement plat.** Dans ce cas, on le déduit directement du *Théorème 1.10* (dont la preuve se trouve dans [K0]) puisque  $X$  peut-être vu comme le graphe d'une famille analytique de  $n$ -cycles  $(X_s)_{s \in S}$  paramétrée par  $S$  et pour toute famille de supports paracompactifiante  $\Phi$  rencontrant toute famille de supports  $\Psi$  contenant les supports des cycles et telles que  $\Phi \cap \Psi$  soit contenue dans la famille des compacts de  $X$ , permettra de construire

$$\tilde{\sigma}_{\Phi, X}^{q,0} : H_{\Phi}^n(X, \mathcal{L}_Z^{n+q}) \longrightarrow H^0(S, \mathcal{L}_S^q)$$

et donnera naturellement le

$$\mathcal{T}_{\pi, \mathcal{L}}^k : \mathbb{R}^n \pi_! \mathcal{L}_X^{n+k} \rightarrow \mathcal{L}_S^k$$

vérifiant toutes les propriétés fonctorielles annoncées dans le *Théorème 1.10*.

Pour donner un caractère intrinsèque au texte, nous rappelons brièvement la construction. Soient  $X$  et  $S$  deux espaces complexes réduits et  $\pi : X \rightarrow S$  un morphisme géométriquement plat à fibres de dimension pure  $n$ . Pour construire un morphisme de  $\mathcal{O}_S$ -module (cohérents si le morphisme est propre)

$$\mathcal{T}_{\pi}^j : \mathbb{R}^n \pi_! \mathcal{L}_X^{n+j} \rightarrow \mathcal{L}_S^j$$

( en remplaçant  $\pi_!$  par  $\pi_*$  dans le cas propre) compatible aux restrictions ouvertes sur  $X$  et aux changements de base, on procède comme dans [K0] ou [K1] en commençant par exhiber une telle flèche relativement à une installation locale de  $\pi$  puis procéder à la globalisation grâce à l'exactitude à droite du foncteur  $\mathbb{R}^n \pi_!$  et à la méthode du découpage.

**(a) Construction locale.**

Soient  $s_0$  un point de  $S$  et  $x$  un point de la fibre  $\pi^{-1}(s_0)$ . Considérons une factorisation locale de  $\pi$  en  $x$  donnée (abusivement) par  $X \xrightarrow{f} Y \xrightarrow{q} S$  dans laquelle  $f$  est fini, ouvert et surjectif sur  $Y = S \times U$  avec  $U$  polydisque ouvert relativement compact de  $\mathbb{C}^n$ ,  $S$  un ouvert de Stein;  $q$  et  $p$  étant les projections canoniques sur  $S$  et  $U$  respectivement, on a, pour tout entier  $k$ , les décompositions

$$\mathcal{L}_Y^k = \bigoplus_{i+j=k} q^*(\mathcal{L}_S^i) \otimes_{\mathcal{O}_Y} p^*(\Omega_U^j) = \bigoplus_{i+j=k} \mathcal{L}_S^i \widehat{\otimes}_{\mathbb{C}} \Omega_U^j$$

et, donc, une projection naturelle

$$\mathcal{L}_Y^{n+q} \rightarrow q^*(\mathcal{L}_S^q) \otimes_{\mathcal{O}_Y} \Omega_{Y/S}^n$$

Mais le morphisme canonique de  $\mathcal{O}_S$ -modules

$$\mathcal{L}_S^q \otimes_{\mathcal{O}_S} \mathbb{R}^n q_! \Omega_{Y/S}^n \rightarrow \mathbb{R}^n q_!(q^*(\mathcal{L}_S^q) \otimes_{\mathcal{O}_Y} \Omega_{Y/S}^n)$$

est un isomorphisme puisque, pour tout faisceau cohérent  $\mathcal{G}$  sur  $S$ , les foncteurs

$$\mathcal{G} \rightarrow \mathcal{G} \otimes_{\mathcal{O}_S} \mathbb{R}^n q_! \Omega_{Y/S}^n, \quad \mathcal{G} \rightarrow \mathbb{R}^n q_!(q^*(\mathcal{G}) \otimes_{\mathcal{O}_Y} \Omega_{Y/S}^n)$$

coincident sur les faisceaux localement libres; le cas général s'en déduit en prenant une résolution localement libre à deux termes pour  $\mathcal{G}$ . Cela se vérifie aussi rapidement en utilisant une formule de type Künneth sur le produit complété.

Alors, en appliquant le foncteur exact à droite  $\mathbb{R}^n q_!$  à la flèche

$$f_* \mathcal{L}_X^{n+q} \rightarrow q^*(\mathcal{L}_S^q) \otimes_{\mathcal{O}_Y} \Omega_{Y/S}^n$$

on obtient le morphisme

$$\mathbb{R}^n q_! f_* \mathcal{L}_X^{n+q} \rightarrow \mathcal{L}_S^q \otimes_{\mathcal{O}_S} \mathbb{R}^n q_! \Omega_{Y/S}^n$$

Mais, pour tout ouvert  $S'$  de Stein dans  $S$ , une formule de type Künneth donne

$$\mathbb{R}^n q_! \Omega_{Y/S}^n(S') \simeq \mathcal{O}_S(S') \widehat{\otimes}_{\mathbb{C}} H_c^n(U, \Omega_U^n)$$

qui, eu égard à l'isomorphisme  $H_c^n(U, \Omega_U^n) \simeq \mathbb{C}$  donné par la dualité de Serre, produit, pour  $S$  connexe, l'isomorphisme bien connu pour un morphisme lisse,  $\mathbb{R}^n q_! \Omega_{Y/S}^n \simeq \mathcal{O}_S$ . La finitude de  $f$  garantissant la dégénérescence de la suite spectrale de Leray, et, donc, l'isomorphisme de foncteurs  $\mathbb{R}^n \pi_! \simeq \mathbb{R}^n q_! f_*$ , permet de mettre en évidence la flèche désirée

$$\mathbb{R}^n \pi_! \mathcal{L}_X^{n+q} \rightarrow \mathcal{L}_S^q$$

### (b) Construction globale.

Commençons par remarquer que la construction d'une telle flèche, qui est toujours de nature locale sur  $S$ , l'est aussi sur  $X$  puisque la dimension des fibres est inférieure à  $n$  et en vertu du lemme de Reiffen ([R]). Cela assure, en particulier, l'exactitude à droite du foncteur  $\mathbb{R}^n \pi_!$ . Par ailleurs,  $\mathcal{L}_X^{n+q}$  étant de nature locale, on a, pour tout ouvert  $U$  de  $X$  muni de l'injection naturelle  $j : U \rightarrow X$ ,

$$\mathcal{L}_X^{n+q}|_U = \mathcal{L}_U^{n+q}$$

Cela étant dit, supposons  $X$  paracompact et complètement paracompact<sup>5</sup> et considérons un ouvert de Stein (que l'on notera encore  $S$ ) de  $S$  et un recouvrement ouvert localement fini  $(X_\alpha)_{\alpha \in A}$  de  $X$  qui soit  $S$ -adapté. On peut choisir les ouverts  $X_\alpha$  de sorte à ce que chacun d'entre eux soit contenu dans une réunion localement finie d'ouverts munis d'installations locales du type (avec des notations abusives)

$$\begin{array}{ccc} X_\alpha & \xrightarrow{\sigma_\alpha} & Z_\alpha \\ & \searrow f_\alpha & \swarrow p_\alpha \\ & Y_\alpha & \\ & \swarrow \pi_\alpha & \searrow r_\alpha \\ & \downarrow q_\alpha & \\ & S & \end{array}$$

avec  $\sigma_\alpha$  un plongement local,  $\pi_\alpha$  la restriction de  $\pi$  à  $X_\alpha$ ,  $Y_\alpha$  et  $Z_\alpha$  sont lisses sur  $S$ ,  $p_\alpha, q_\alpha$  et  $r_\alpha$  lisses.

Comme  $\mathcal{L}_X^{n+q}|_{X_\alpha} = \mathcal{L}_{X_\alpha}^{n+q}$  on déduit, du cas local précédent, une collection de morphismes

$$\mathbb{R}^n \pi_{\alpha!} \mathcal{L}_{X_\alpha}^{n+q} \rightarrow \mathcal{L}_S^q$$

Mais l'exactitude à droite du foncteur  $\mathbb{R}^n \pi_!$  qui assure la surjectivité de la flèche naturelle

$$\bigoplus_{\alpha \in A} \mathbb{R}^n \pi_{\alpha!} \mathcal{L}_{X_\alpha}^{n+q} \rightarrow \mathbb{R}^n \pi_! \mathcal{L}_X^{n+q}$$

permet de produire, par recollement sur  $X$ , le morphisme désiré.

<sup>5</sup>Tout ouvert de  $X$  est un espace paracompact; en particulier, pour toute famille paracompactifiante de supports, l'étendue  $\bigcup_{F \in \Phi} F$  est un ouvert paracompact.

(ii) La compatibilité de la construction aux changements de base est facile à voir car à tout diagramme de changement de base

$$\begin{array}{ccc} \tilde{X} & \xrightarrow{\theta} & X \\ \tilde{\pi} \downarrow & & \downarrow \pi \\ \tilde{S} & \xrightarrow{v} & S \end{array}$$

est naturellement associé le diagramme commutatif (qui coïncident tous sur la partie régulière de  $\pi$ )

$$\begin{array}{ccc} v^* \mathbb{R}^n \pi_! \mathcal{L}_X^{n+q} \simeq \mathbb{R}^n \tilde{\pi}_! \theta^* \mathcal{L}_X^{n+q} & \longrightarrow & \mathbb{R}^n \tilde{\pi}_! \mathcal{L}_{\tilde{X}}^{n+q} \\ v^*(\mathcal{T}_{\pi, \mathcal{L}}^j) \downarrow & & \downarrow \mathcal{T}_{\tilde{\pi}, \mathcal{L}}^j \\ v^* \mathcal{L}_S^q & \longrightarrow & \mathcal{L}_{\tilde{S}}^q \end{array}$$

L'isomorphisme de changement de base de la première ligne résulte de :

- l'isomorphisme de changement de base de faisceaux abéliens

$$v^{-1}(\mathbb{R}^n \pi_! \mathcal{L}_X^{n+q}) \simeq \mathbb{R}^n \tilde{\pi}_! \theta^{-1}(\mathcal{L}_X^{n+q})$$

et de

- l'exactitude à droite du foncteur  $\mathbb{R}^n \tilde{\pi}_!$

qui nous donnent l'isomorphisme

$$\mathcal{O}_{\tilde{S}} \otimes_{v^{-1} \mathcal{O}_S} v^{-1}(\mathbb{R}^n \pi_! \mathcal{L}_X^{n+q}) \simeq \mathbb{R}^n \tilde{\pi}_!(\mathcal{O}_{\tilde{X}} \otimes_{\tilde{\pi}^{-1} \mathcal{O}_X} \theta^{-1} \mathcal{L}_X^{n+q})$$

c'est-à-dire

$$v^*(\mathbb{R}^n \pi_! \mathcal{L}_X^{n+q}) \simeq \mathbb{R}^n \tilde{\pi}_! \theta^*(\mathcal{L}_X^{n+q})$$

La compatibilité aux localisations sur  $X$  et  $S$  est aisée puisque c'en est un cas particulier.

**9.2. Image directe supérieure pour un morphisme propre.** Grâce au théorème d'aplatissement de Hironaka ([H1]), on peut trouver une modification  $v : \tilde{S} \rightarrow S$  et un diagramme commutatif

$$\begin{array}{ccc} \tilde{X} & \xrightarrow{\tilde{v}} & X \\ \tilde{\pi} \downarrow & \searrow \psi & \downarrow \pi \\ \tilde{S} & \xrightarrow{v} & S \end{array}$$

dans lequel  $v$  (resp.  $\tilde{v}$ ) est une modification propre,  $\tilde{X}$  est la préimage stricte (qui coïncide avec la préimage totale si  $\pi$  est ouvert) de  $X$  et  $\tilde{\pi}$  un morphisme plat.

Considérons les suites spectrales de second terme

$$E_2^{i,j} := \mathbb{R}^i \pi_! \mathbb{R}^j \tilde{v}_* \mathcal{L}_{\tilde{X}}^{n+k}, \quad 'E_2^{i,j} := \mathbb{R}^i v_* \mathbb{R}^j \tilde{\pi}_! \mathcal{L}_{\tilde{X}}^{n+k}$$

et d'aboutissement  $\mathbb{R}^{i+j} \psi_* \mathcal{L}_{\tilde{X}}^{n+k}$  dont on sait qu'elles vérifient

$$E_2^{i,j} = 0, \forall i > n; \quad 'E_2^{i,j} = 0, \forall j > n$$

Alors, on a un morphisme canonique (composition de morphismes latéraux)

$$\mathbb{R}^n \pi_! \mathcal{L}_X^{n+k} = \mathbb{R}^n \pi_! \tilde{v}_* \mathcal{L}_{\tilde{X}}^{n+k} \rightarrow v_* \mathbb{R}^n \tilde{\pi}_! \mathcal{L}_{\tilde{X}}^{n+k}$$

et, par suite, la flèche désirée

$$\begin{array}{ccc} \mathbb{R}^n \pi_! \mathcal{L}_X^{n+k} & \longrightarrow & v_* \mathbb{R}^n \tilde{\pi}_! \mathcal{L}_{\tilde{X}}^{n+k} \\ \mathcal{T}_{\pi, \mathcal{L}}^k \downarrow & & \mathcal{T}_{\tilde{\pi}, \mathcal{L}}^k \downarrow \\ \mathcal{L}_S^k & \xlongequal{\quad} & v_* \mathcal{L}_{\tilde{S}}^k \end{array}$$

le diagramme étant naturellement commutatif et la compatibilité aux changements de base découle de ce qui a été dit précédemment.

**9.3. Image directe supérieure pour un morphisme génériquement ouvert à fibre générique de dimension  $n$ .** On utilise, dans ce cas, le théorème d'aplatissement local de [H2] ou de [Si] donnant le diagramme

$$\begin{array}{ccc} \tilde{X} & \xrightarrow{\tilde{v}} & X \\ \tilde{\pi} \downarrow & & \downarrow \pi \\ \tilde{S} & \xrightarrow{v} & S \end{array}$$

dans lequel  $v$  (resp.  $\tilde{v}$ ) est un morphisme semi propre,  $\tilde{v}$  un morphisme génériquement ouvert et génériquement fini,  $\tilde{X}$  est la préimage stricte localisée de  $X$  et  $\tilde{\pi}$  un morphisme équidimensionnel sur  $\tilde{S}$  normal.

Pour construire  $\mathcal{T}_{\tilde{\pi}, \mathcal{L}}^k$ , il suffit d'utiliser la formule de changement de base précédente associée au produit fibré  $\tilde{X}$  et la restriction  $\mathcal{L}_{\tilde{X}}^{n+k} \rightarrow \mathcal{L}_{\tilde{X}}^{n+k}$ .

#### 10. IMAGE DIRECTE SUPÉRIEURE DÉDUITE DU MORPHISME $\mathfrak{F}_{\pi, \omega}^k : \mathbb{R}^n \pi_! \omega_X^{n+k} \rightarrow \omega_S^k$ .

Cette approche, quant à elle, de nature plus conceptuelle, repose sur une construction dont les piliers sont ancrés dans la théorie de la dualité et ne nécessite aucun recours aux théorèmes d'aplatissement comme on l'a vu dans [K3].

En composant avec l'injection canonique  $\mathcal{L}_X^{n+k} \rightarrow \omega_X^{n+k}$ , on a, naturellement, le diagramme commutatif

$$\begin{array}{ccc} \mathbb{R}^n \pi_! \mathcal{L}_X^{n+k} & \longrightarrow & \mathbb{R}^n \pi_! \omega_X^{n+k} \\ & \searrow & \swarrow \\ & \omega_S^k & \end{array}$$

Pour lequel, on doit montrer que l'image du morphisme  $\mathbb{R}^n \pi_! \mathcal{L}_X^{n+k} \rightarrow \omega_S^k$  est en fait à valeurs dans le faisceau  $\mathcal{L}_S^k$ . Pour ce faire, on considère une désingularisation  $v : \tilde{S} \rightarrow S$  et le diagramme de changement de base induit

$$\begin{array}{ccc} \tilde{X} & \xrightarrow{\tilde{v}} & X \\ \tilde{\pi} \downarrow & \searrow \psi & \downarrow \pi \\ \tilde{S} & \xrightarrow{v} & S \end{array}$$

dans lequel  $\varphi$  (resp.  $\tilde{\varphi}$ ) est une modification propre et  $\pi$  (resp.  $\tilde{\pi}$ ) est  $n$ -géométriquement plat. Rappelons que la constante de la dimension des fibres, ouverture et platitude géométrique sont des notions stables par changements de base arbitraires.

En reprenant les suites spectrales de second terme

$$E_2^{i,j} := \mathbb{R}^i \pi_! \mathbb{R}^j \tilde{v}_* \mathcal{L}_{\tilde{X}}^{n+k}, \quad 'E_2^{i,j} := \mathbb{R}^i v_* \mathbb{R}^j \tilde{\pi}_! \mathcal{L}_{\tilde{X}}^{n+k}$$

et d'aboutissement  $\mathbb{R}^{i+j}\psi_*\mathcal{L}_{\tilde{X}}^{n+k}$ , on met en évidence, pour les mêmes raisons, la flèche désirée dans le diagramme commutatif

$$\begin{array}{ccc} \mathbb{R}^n\pi_!\mathcal{L}_X^{n+k} & \longrightarrow & v_*\mathbb{R}^n\tilde{\pi}_!\mathcal{L}_{\tilde{X}}^{n+k} \\ \mathcal{T}_{\pi,\mathcal{L}}^k \downarrow & & \downarrow \\ \mathcal{L}_S^k & \xlongequal{\quad} & v_*\Omega_S^k \end{array}$$

Les propriétés fonctorielles se vérifient sans difficultés comme dans le cas géométriquement plat ■

#### REFERENCES

- [A.L] B. Angéniol, M. Lejeune-Jalabert. Calcul différentiel et classes caractéristiques en géométrie algébrique. *Travaux en cours*. Hermann, Editeurs des sciences et des arts, Paris (1989). ↑
- [A.E] B. Angéniol, F. Elzein. La classe fondamentale relative d'un cycle. *Bull.Soc.Math.France* 58:63–93, (1978). ↑
- [A] A. Andrótti. Théorèmes de dépendance algébrique sur les espaces complexes pseudo-concaves. *Bulletin de la société Math.de France* 91: 1–38, (1963) ↑
- [A.N] A. Andreotti, F. Norguet. La convexité holomorphe dans l'espace analytique des cycles d'une variété algébrique. *Ann. Sc. Norm. Pisa.*, tome 21:811–842, (1965), ↑
- [AK] Aldo Andreotti and Arnold Kas. Duality on complex spaces. *Ann. Sc. Norm. Pisa.*, (1973) 27:187–263, 1973. ↑
- [AdS] J. Adamus, H. Seydinejad. Flatness testing over singular bases. *Ann. Polon. Math* 107:87–96, (2013) ↑
- [Ad] J. Adamus. Flatness testing Criterion in Characteristic zero. *Proc.Amer.Math.Soc.* 143:2559–2570, (2015) ↑
- [B0] D. Barlet. Espace analytique réduit des cycles analytiques complexes compacts d'un espace analytique réduit. *Sém. F. Norguet-Lecture Notes in Mathematics.*,482: 1–158, (1975) Springer Verlag. ↑
- [B1] D. Barlet. Convexité au voisinage d'un cycle. *Sem.F. Norguet-Lecture Notes in Mathematics*, 807:102–121, (1977-1978) Springer Verlag. ↑
- [B2] D. Barlet. Majoration du volume des fibres génériques et forme géométrique du théorème d'applatissement. *Sem. P. Lelong-H.Skoda. Lecture Notes in Mathematics.*, 822: p.1–17, (1980) Springer verlag. ↑ 14, 17
- [B3] D. Barlet. Le faisceau  $\omega_X$  sur un espace analytique de dimension pure, *Sém. F. Norguet-Lecture Notes in Mathematics.*, 670: 187–204, (1980) Springer Verlag. ↑ 20
- [B4] D. Barlet. Famille analytique de cycles et classe fondamentale relative. *Sém. F. Norguet-Lecture Notes in Mathematic*, 807: 1–24,(1980) Springer Verlag, (1980) 1–24. Springer Verlag. ↑ 23
- [B5] D. Barlet. The sheaf  $\alpha_X$ . *Journal of Singularities*, 18: 50–83, (2018). DOI:10.5427/jsing.2018.18e. ↑ 15
- [B6] D. Barlet. The sheaf  $\alpha_X$ : Erratum. *Journal of Singularities*, 23: 15–18, (2020). DOI:10.5427/jsing.2021.23b. ↑ 15
- [B.M] D. Barlet, J. Magnusson. Intégration de classes de cohomologie méromorphes et diviseur d'incidence. *Ann. sc. de l'E.N.S, Série 4*, tome 31(6):811–842. (1998) ↑
- [B.V] D. Barlet, J. Varouchas. Fonctions holomorphes sur l'espace des cycles. *Bulletin de la Société Mathématique de France*, 117:329–341(1989) ↑ 8
- [BS76] Constantin Bănică and Octavian Stănăşilă. *Algebraic methods in the global theory of complex spaces*. Editura Academiei, Bucharest; John Wiley & Sons, London-New York-Sydney, 1976. Translated from the Romanian. ↑
- [Ba1] Constantin Bănică. Une caractérisation de la dimension d'un faisceau analytique cohérent.. *Compo. Math.*, 25 (1):101–108, 1972. ↑
- [Ba2] Constantin Bănică. Sur les Ext-globaux dans une déformation. *Compo. Math.*, 44 (1-3):17–27, 1981.
- [BPS] Constantin Bănică and Mihai Putinar and Georg Schumacher. Variation der globalen Ext in Deformationen kompakter komplexer Raume. *Math. Ann.*, 250:135–156, 1980.
- [Br] Glen E. Bredon. Sheaf Theory. second Edition. *Graduate Texts in Mathematics*,170 (1997) Springer-Verlag New York-Berlin Heidelberg (1997). ↑
- [E] F. Elzein. Complexe dualisant et applications à la classe fondamentale d'un cycle. *Bull.Soc.Math.France Mem.*, 58, (1978). ↑
- [E1] F. Elzein. Comapraison des résidus de Grothendieck et Herrera. *CR Acad.Sc.Paris, Ser.A* (278): 863–866.(1974) ↑

- [E.G.A.3] A. Grothendieck, J. Dieudonné. *Éléments de géométrie algébrique. Etude locale des schémas et des morphismes de schémas III*. *Inst.Hautes Etudes Sci.Publ.Math*,28, (1966). ↑  
I
- [E.G.A.4] A. Grothendieck, J. Dieudonné. *Éléments de géométrie algébrique. Etude locale des schémas et des morphismes de schémas IV*. *Inst.Hautes Etudes Sci.Publ.Math*,28, (1966). ↑
- [Fi] Gerd Fischer. *Complex analytic geometry Lecture Notes in Mathematics*. volume 538. Springer-Verlag, Berlin-New York, 1976. ↑
- [Fl] H.Flenner. Extendability of differential forms on non isolated singularities. *Inven.Math*229:97–11 (1998) Springer-Verlag ↑ 22
- [F2] H.Flenner. Die Sätze von Bertini für lokale Ringe.. *Math.Ann*229:97–111 (1977) Springer-Verlag ↑ 5, 6  
↑ 22
- [Fr] J.Frisch. Points de platitude d'un morphisme d'espace analytique complexe. *Inv.Math*, 4:118–138, (1967). Springer Verlag ↑
- [Fu-Sc] A.Fujiki-G.Schumacher. The moduli Space of Extremal Compact Kähler manifolds and Generalized Wei-Petersson Metrics. *Publ.RIMS,Kyoto Univ.*, 26:101–183, (1990). ↑ 16
- [G1] A. Grothendieck. Théorèmes de dualité pour les les faisceaux algébriques cohérents. *Seminaire Bourbaki*,149, (1957). ↑
- [GKP] Daniel Greb, Stefan Kebekus, and Thomas Peternell. Singular spaces with trivial canonical class. In *Minimal Models and Extremal Rays, Kyoto, 2011*, volume 70 of *Adv. Stud. Pure Math.*, pages 67–113. Mathematical Society of Japan, Tokyo, 2016. Preprint [arXiv:1110.5250](https://arxiv.org/abs/1110.5250). ↑
- [Go] V.D. Golovin. On the homology theory of analytic sheaves. *Math.USSR.Izvestija.*, 16(2): 239–260, (1981). ↑
- [GR60] Hans Grauert. Ein theorem der analytischen Garbentheorie und die Modulräume komplexer Strukturen. *Publ. math. de l'I.H.E.S* tome 5:5–64, (1960) [numdam.PMIHES-1960-5-5-0](https://numdam.org/item/PMIHES-1960-5-5-0) ↑
- [GR71] Hans Grauert and Reinhold Remmert. *Analytische Stellen Algebra*. Springer Verlag, Berlin (1971). ↑
- [GR] H. Grauert-O. Riemenschneider. Verschwindungssätze für analytische Kohomologiegruppen au komplexen Räumen. *Invent. Math.*,11:263–292 (1970) Springer Verlag, Berlin (1971). ↑ 2, 5, 7
- [Gr] G.M.Greuel. Dualität in der lokalen Kohomologie isolierter Singularitäten. *Math.Ann* 250:157–173 (1980) Springer-Verlag ↑ 2, 5, 6
- [Gri] Phillip A. Griffiths. Variations on a theorem of Abel. *Invent. Math.*, 35:321–390, (1976). Springer-Verlag [DOI:10.1007/BF01390145.0](https://doi.org/10.1007/BF01390145.0) ↑
- [H.L] M. Herrera, D.Libermann. Residues and principal values on complex spaces. *Math. Ann*,194: 259–294, (1971). Springer-Verlag ↑
- [H.S] R. Hübl, P. Sastry. Regular differential forms and relative duality. *American Journal of Mathematics*,115:749–787, (1993). ↑
- [Har70] F.Reese.Harvey F. Integral formulae connected by Dolbeault's isomorphism. *Rice.Univ.Studies*, 56(2):77–97, (1970) ↑
- [H] Heisuke Hironaka. Resolution of singularities of an algebraic variety over a field of characteristic zero. *Ann. Math.*, 79:109–326, 1964. ↑
- [H1] Heisuke Hironaka. Flattening theorem in complex-analytic geometry. *Am.Journal of Math.*, 97(2):503–547, 1975. ↑ 10, 14, 17, 28, 35
- [H2] H. Hironaka, M. Lejeune-Jalabert and B. Teissier. Platicateur local en geometrie analytique et aplatissement local. in *Singularités à Cargèse, Astérisque*, 7 et 8, (1973). ↑ 32, 36
- [K96] M. Kaddar. Classe fondamentale relative en cohomologie de Deligne et application. *Math.Ann*,306:285–322, (1996). Springer-Verlag ↑
- [K0] M. Kaddar. Intégration d'ordre supérieure sur les cycles en géométrie analytique complexe. *Ann. Sc. Norm. Pisa Cl.Sci*, 4 (29): 187–263, (2000). ↑ 2, 7, 17, 22, 33
- [K1] Mohamed Kaddar. Classe fondamentale relative pondérée d'un morphisme géométriquement plat I. Preprint [arXiv:0906.1296](https://arxiv.org/abs/0906.1296). ↑ 33
- [K2] Mohamed Kaddar. Classe fondamentale relative pondérée d'un morphisme géométriquement plat II. Preprint [arXiv:0906.1299](https://arxiv.org/abs/0906.1299). ↑
- [K3] Mohamed Kaddar. Propriétés fonctorielles du faisceau  $\omega_Z^\bullet$ . ↑ 1, 2, 3, 8, 13, 14, 15, 16, 32, 33, 36
- [K4] Mohamed Kaddar. Propriétés fonctorielles du faisceau  $\mathcal{L}_Z^\bullet$ . ↑
- [K5] Mohamed Kaddar. Morphismes géométriquement plats et singularités spéciales. ↑
- [K6] Mohamed Kaddar. Faisceaux réflexifs et monades dans la catégorie des faisceaux cohérents sur un espaces complexe réduit. ↑
- [K7] Mohamed Kaddar. ↑  
Sur certains foncteurs cohomologiques et homologiques de dualité.
- [K8] Mohamed Kaddar. ↑  
Dualité relative de type Kleiman I: cas d'un morphisme universellement équidimensionnel propre.
- [K9] Mohamed Kaddar. ↑  
Dualité relative de type Kleiman II: cas d'un morphisme lisse non propre.

- [K9] Mohamed Kaddar.  $\uparrow$   
Dualité relative de type Kleiman II: cas d'un morphisme universellement équidimensionnel non propre.
- [Ke1] M.Kersken. Der Residuencomplex in der lokalen algebraischen und analytischen Geometrie. *Math. Ann.*, 265: 423–455, (1983). Springer-Verlag  $\uparrow$
- [Ke2] M.Kersken. Reguläre Differentialformen. *Manus. Math.*, 46: 1–25, (1984). Springer-Verlag  $\uparrow$
- [Ke3] M. Kersken. Some Applications of the trace mapping for differentials. *Topis in Algebra. Banach Center Publications*, 26(2): 141–148, (1990).  $\uparrow$
- [KeSc] Stefan Kebekus and Christian Schnell. Extending holomorphic forms from the regular locus of a complex space to a resolution of singularities. Preprint [arXiv:1811.03644](https://arxiv.org/abs/1811.03644).  $\uparrow$  2, 11, 13, 14
- [Kl] S.Kleiman, L. Steven. Relative duality for quasicohherent sheaves. *Compositio. Math.*, 41(1): 39–60, (1980). Springer Verlag  $\uparrow$
- [K.W] E. Kunz, R.Waldi. Regular differential forms. *Contemporary Mathematics*, 79, (1988). Amer.Math.Soc., Providence.  $\uparrow$
- [Ku1] E.Kunz. Holomorphe Differentialformen auf Algebraischen Varietäten mit Singularitäten I. *Manuscripta. Math.*, 15: 91–108, (1975). Springer-Verlag  $\uparrow$
- [Ku2] E.Kunz. Holomorphe Differentialformen auf Algebraischen Varietäten mit Singularitäten II. *Abh. Math. Sem. Univ. Hamburg*, 47: 42–70, (1978).  $\uparrow$
- [Ku3] E.Kunz. Residuen von Differentialformen auf Cohen Macaulay Varietäten mit Singularitäten I. *Math. Zeitschrift*, 152: 165–189, (1977).  $\uparrow$
- [L] J.Lipman. Dualizing sheaves, differentials and residues on algebraic varieties. *Asterisque* 117, (1984).  $\uparrow$
- [L.J] M.Lejeune-Jalabert. Le théorème “AF+BG” de Max Noether. *Seminar on Singularities*, 97–138, (Paris, 1976/1977) Publ. Math. Univ. Paris VII 1980.  $\uparrow$
- [L.S] J. Lipman, P. Sastry. Residues and duality for Cousin complexes, Preprint.  $\uparrow$
- [Mat] NH. Matsumura. Commutative algebra. *Math. Lect. Note. Series.*, Second Edition (1980) *The Benjamin/Cummings Publishing Company*.  $\uparrow$
- [M.T] M.Merle-B.Teissier. Conditions d'adjonctions. en *Lect. Notes in Math.* 777: 230–245 (1977) Springer-Verlag, Berlin.  $\uparrow$  5, 6
- [Par] A. Parusinski. Constructibility of the set of points where a complex analytic morphism is open. *Proc. Amer. Math. Society*, 117(1): 205–211, (1993).  $\uparrow$
- [P.S] E.Picard- G.Simart. Théorie des fonctions algébriques de deux variables indépendantes. Chelsea Publ. Company, Bronx new York (1971).  $\uparrow$  2
- [R] H.J. Reiffen. Riemmansche Hebbartkeitssätze für Kohomologieklassen mit kompaktem Träger. *Math. Ann.*, 164: 272–279, (1966) Springer-Verlag, Berlin.  $\uparrow$  34
- [RR70] Jean-Pierre Ramis-Gabriel Ruget. Complexe dualisant et théorèmes de dualité en géométrie analytique complexe. *Inst. Hautes Études Sci. Publ. Math.*, (38):77–91, 1970. [numdam.PMIHES-1970-38-77-0](https://numdam.org/PMIHES-1970-38-77-0).  $\uparrow$
- [RRV71] Jean-Pierre Ramis, Gabriel Ruget, and Jean-Louis Verdier. Dualité relative en géométrie analytique complexe. *Invent. Math.*, 13:261–283, 1971. DOI:10.1007/BF01406078.  $\uparrow$
- [RR74] Jean-Pierre Ramis, Gabriel Ruget. Résidus et dualité. *Invent. Math.*, 26:89–131, (1974). Springer Verlag.  $\uparrow$
- [Sc] G.Schumacher. Moduli of polarized Kähler Manifolds. *Math. Ann* 269:137–144 (1984) Springer Verlag.  $\uparrow$  16
- [Si] B.Siebert. Fiber cycles of holomorphic maps. *Math. Ann.* (296) (300), p269–283, p243–271. (1993,1994) Springer Verlag.  $\uparrow$  14, 17, 32, 36
- [SS] Duko van Straten and Joseph Steenbrink. Extendability of holomorphic differential forms near isolated hypersurface singularities. *Abh. Math. Sem. Univ. Hamburg*, 55:97–110, 1985. DOI:10.1007/BF02941491.  $\uparrow$  5, 6
- [ST] Y.T.Siu-G.Trautmann. Gap Sheaves and Extension of Coherent Analytic Subsheaves. *Lect. Notes* 172 Springer Verlag (1971).  $\uparrow$
- [Va] J. Varouchas. Kähler spaces and proper open morphisms. *Math. Ann.* 283 (1): 13–52, (1989). Springer-Verlag, Berlin.  $\uparrow$  16, 25
- [V] Jean Louis Verdier. Base change for twisted inverse images of coherent sheaves. *Tata Institute of Fundamental Research Studies in Mathematics*, 4:393–408. Published for the Tata Institute of Fundamental Research, Bombay; Oxford University Press, London 1969.  $\uparrow$
- [Ve] J.L.Verdier. Stratification de Whitney et théorème de Bertini-Sard. *Inv. Math.* 36: 295–312, (1976). Springer-Verlag, Berlin.  $\uparrow$  22
- [Y] Stephen S-T. Yau. Various numerical invariants for isolated singularities. *Amer. J. Math* 104:1063–1110 (1982)  $\uparrow$  6

Email address: [mohamed.kaddar@univ-lorraine.fr](mailto:mohamed.kaddar@univ-lorraine.fr)